# Present status of the storage-ring mass spectrometer at RIBF

- 1. Mass measurement principle
- 2. Commissioning with <sup>238</sup>U fragments
- 3. Latest results: masses near the r-process
- 4. New developments for Schottky detectors

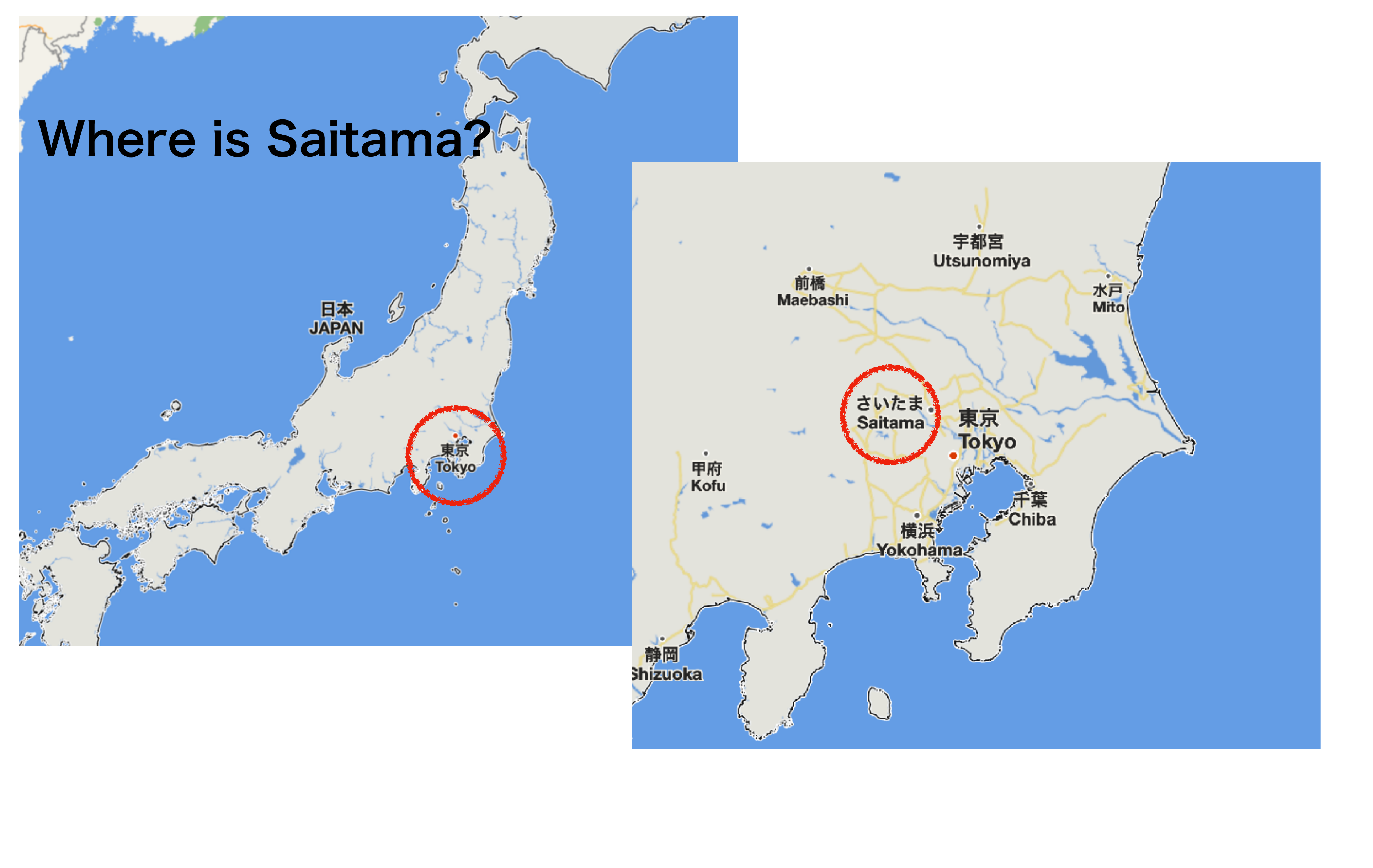
T. Yamaguchi (Saitama) for the R3 collaboration

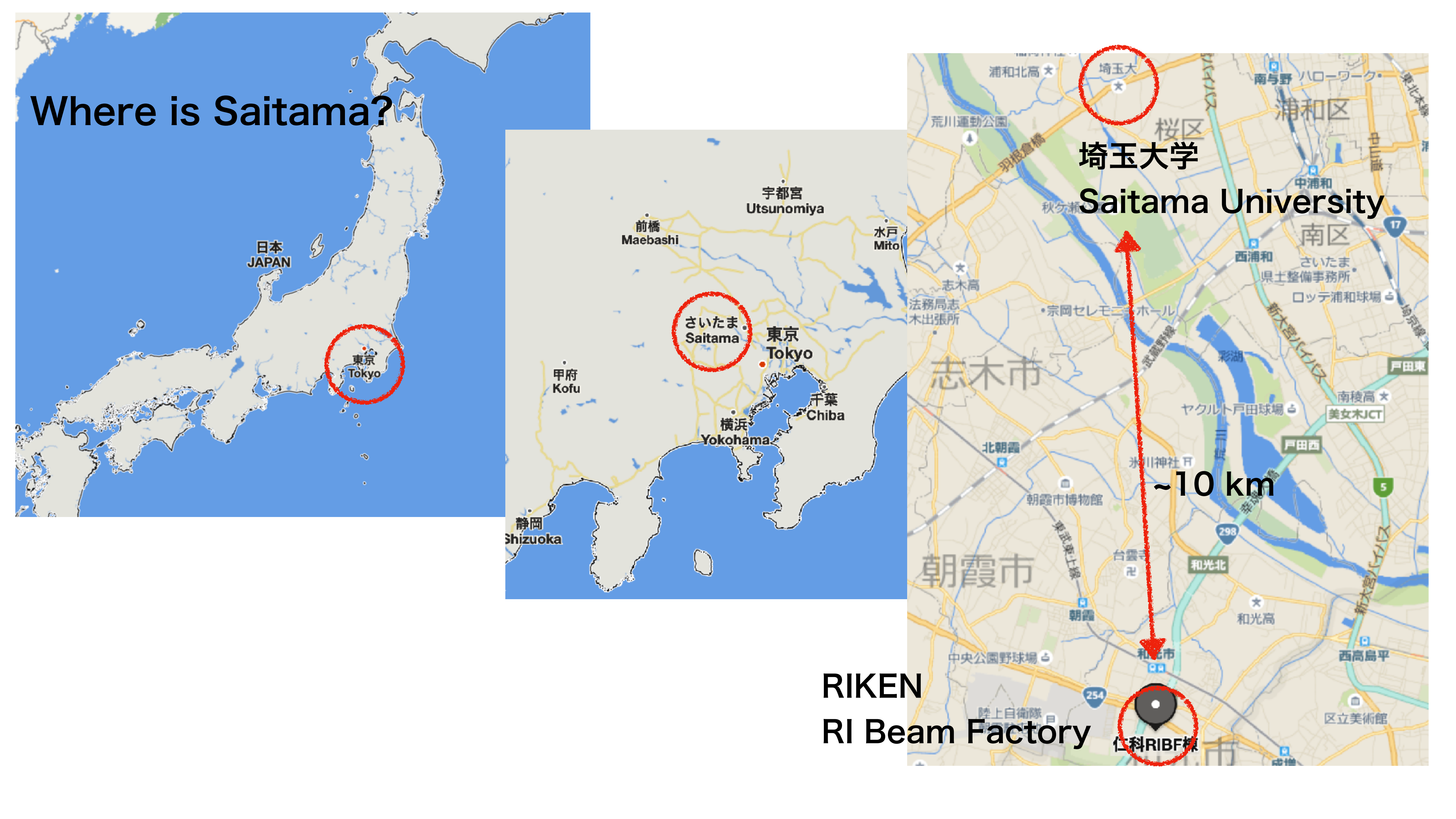
International Symposium on "Stored Ions for Precision Experiments"

Fudan University, Shanghai, 22-24 Nov. 2023

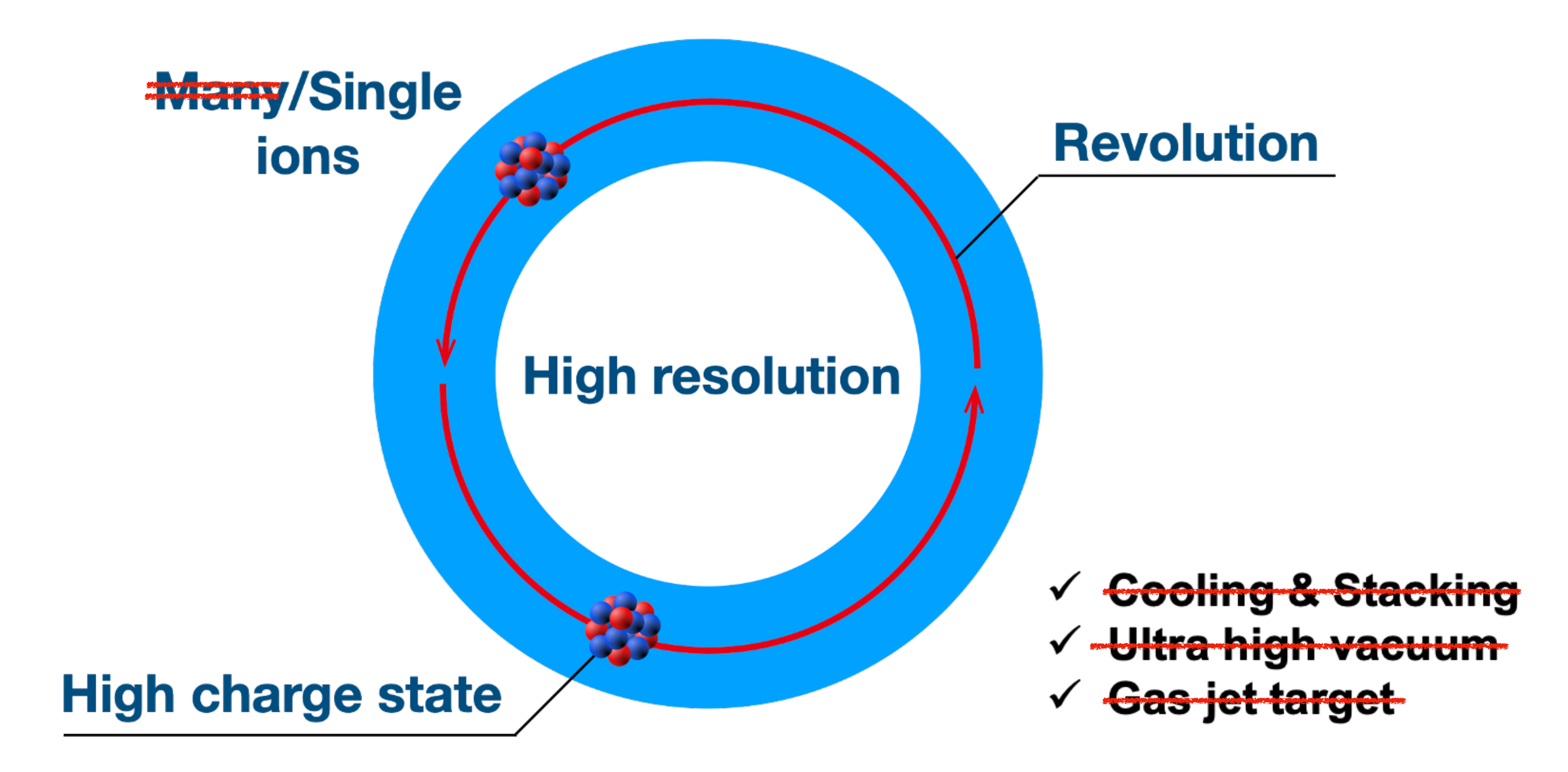








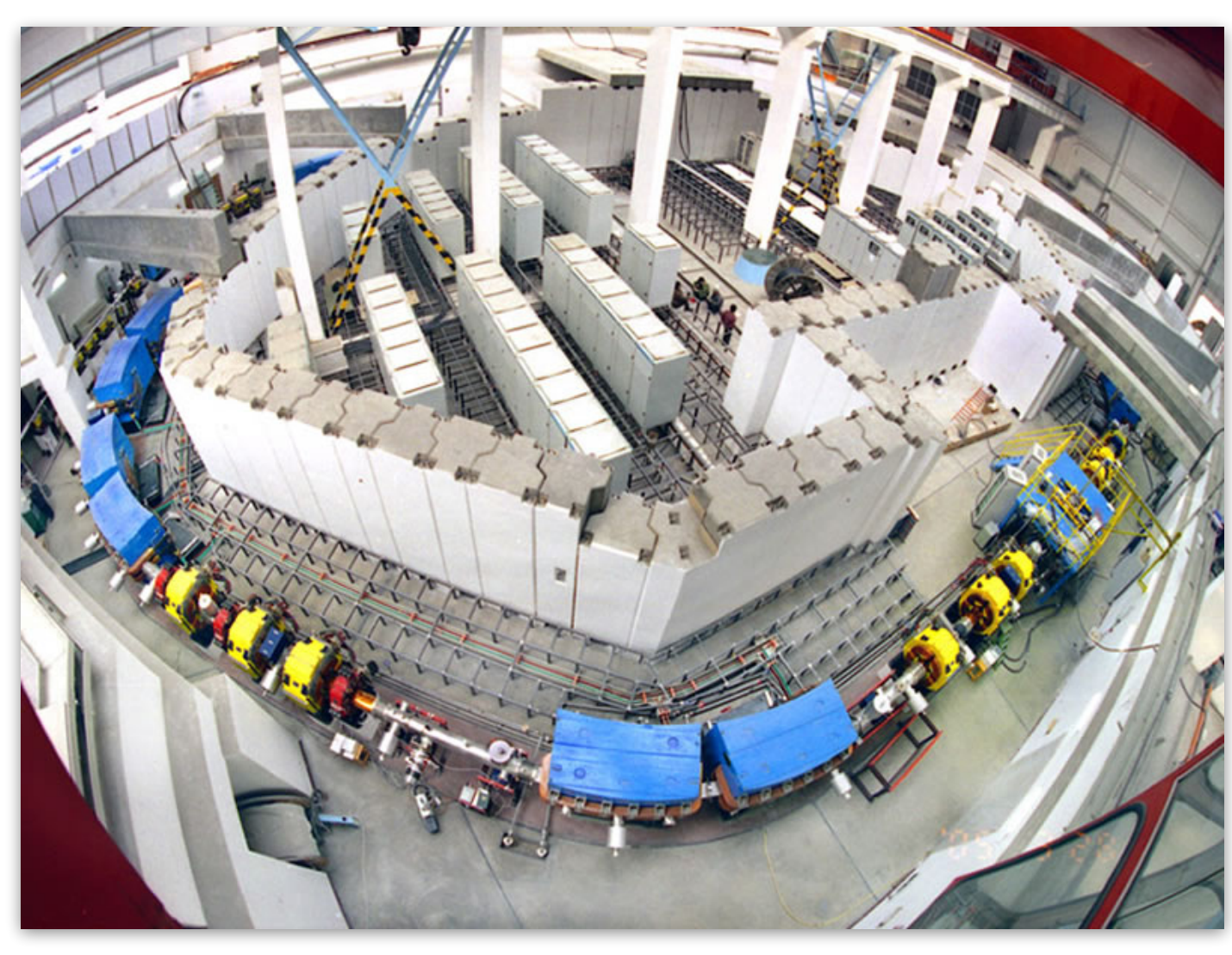
### Storage ring for Rare Isotopes



### RI Beam Storage Rings in Operation



+CRYRING@ESR

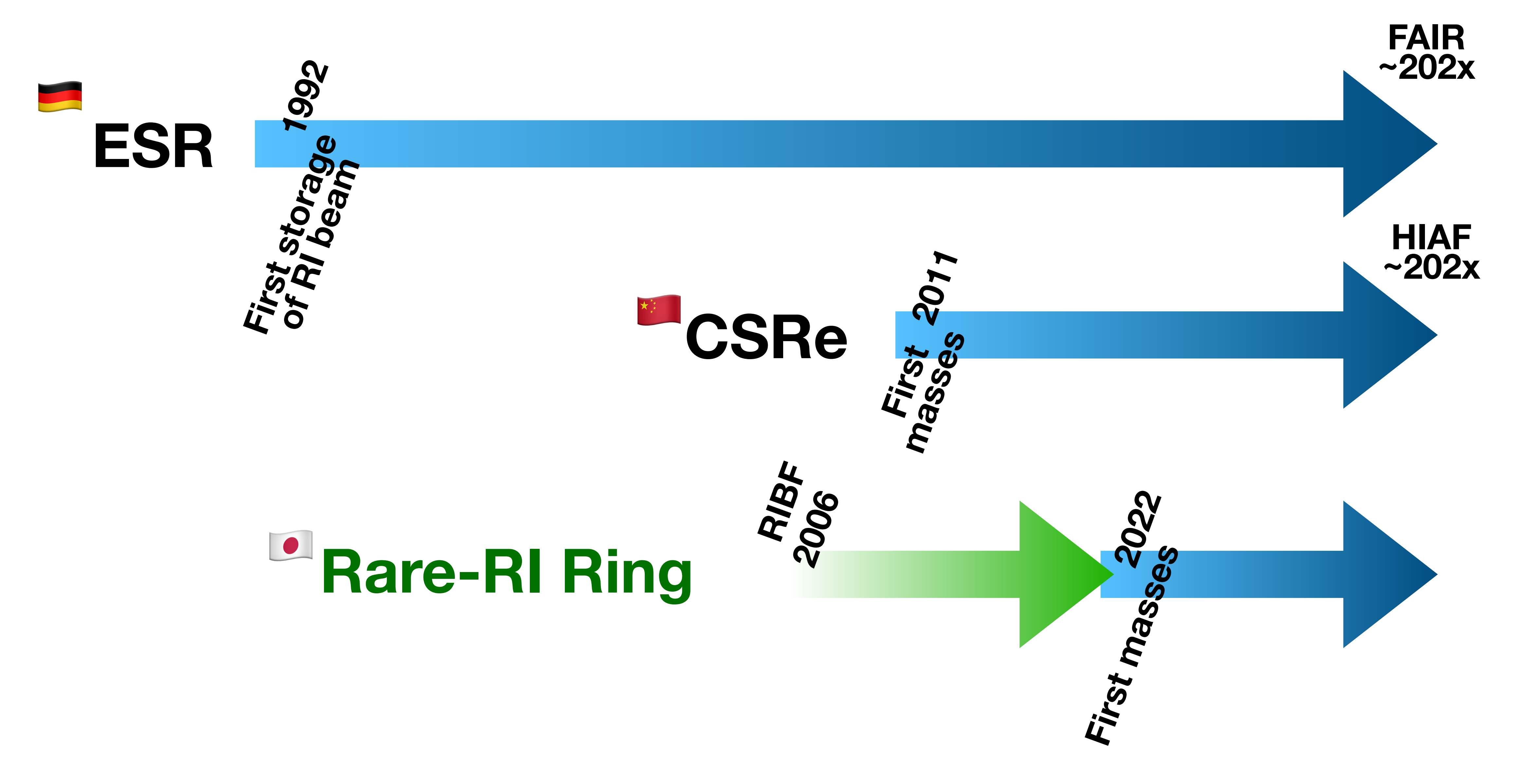


CSRe@IMP, China

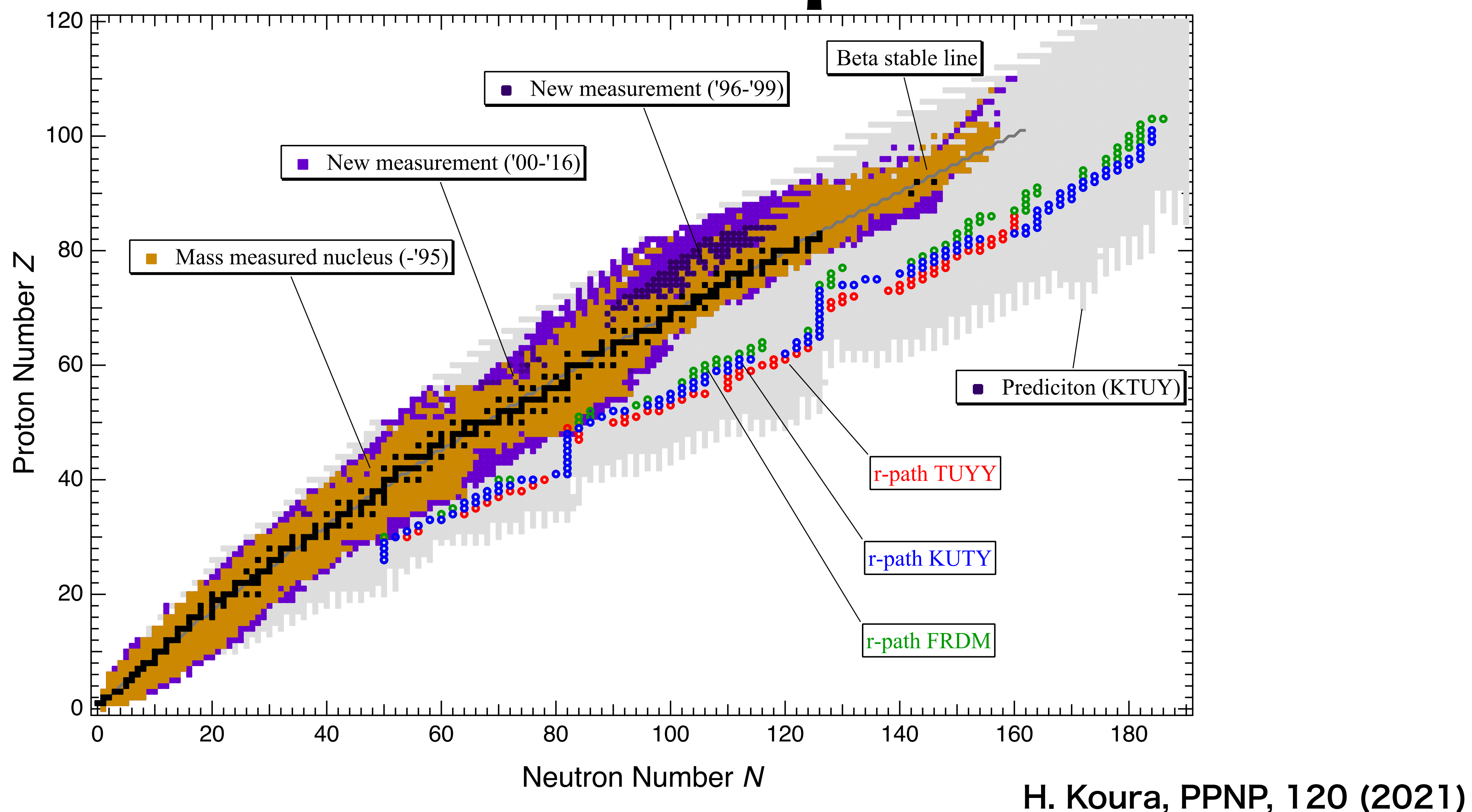


Rare-RI Ring@RIBF

#### Storage Rings In Comparison

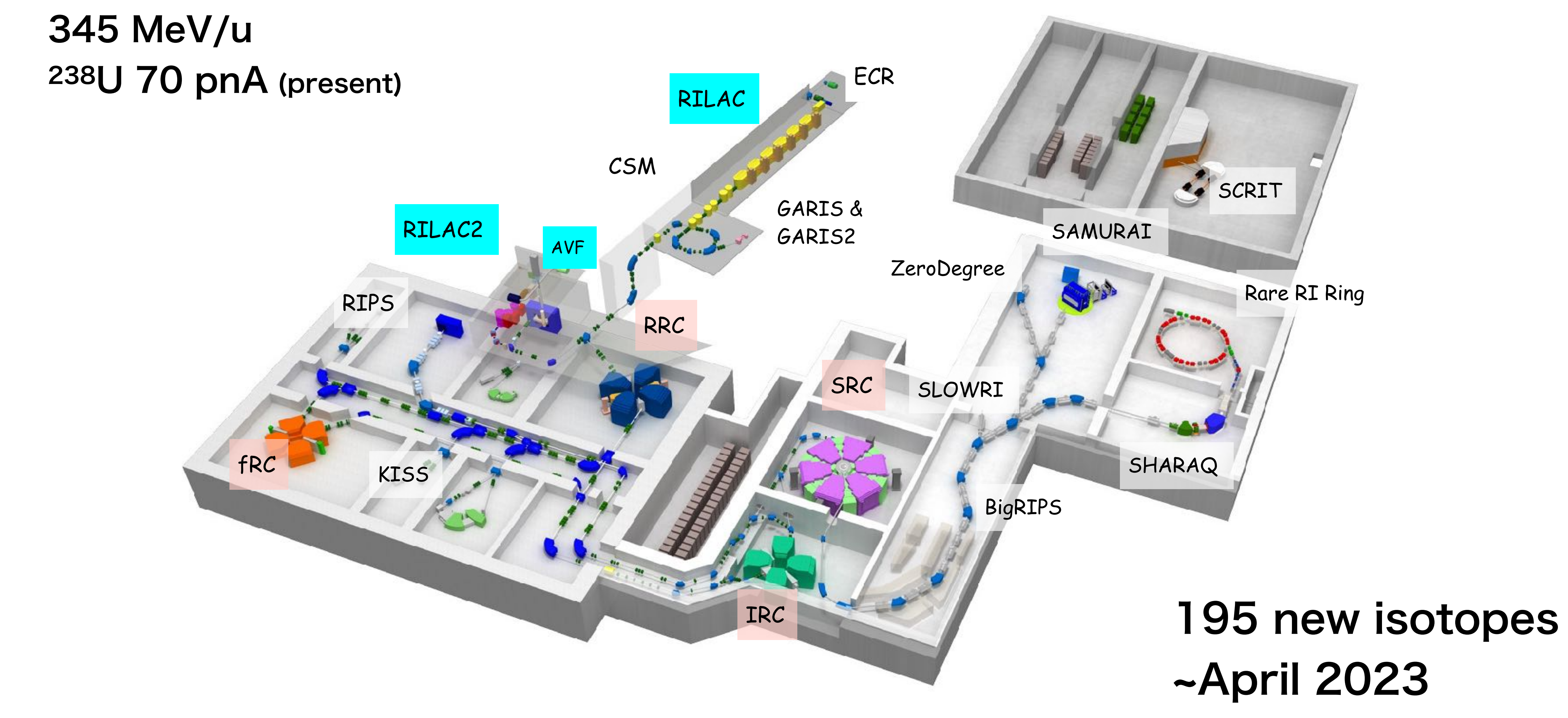


### Masses and R-process



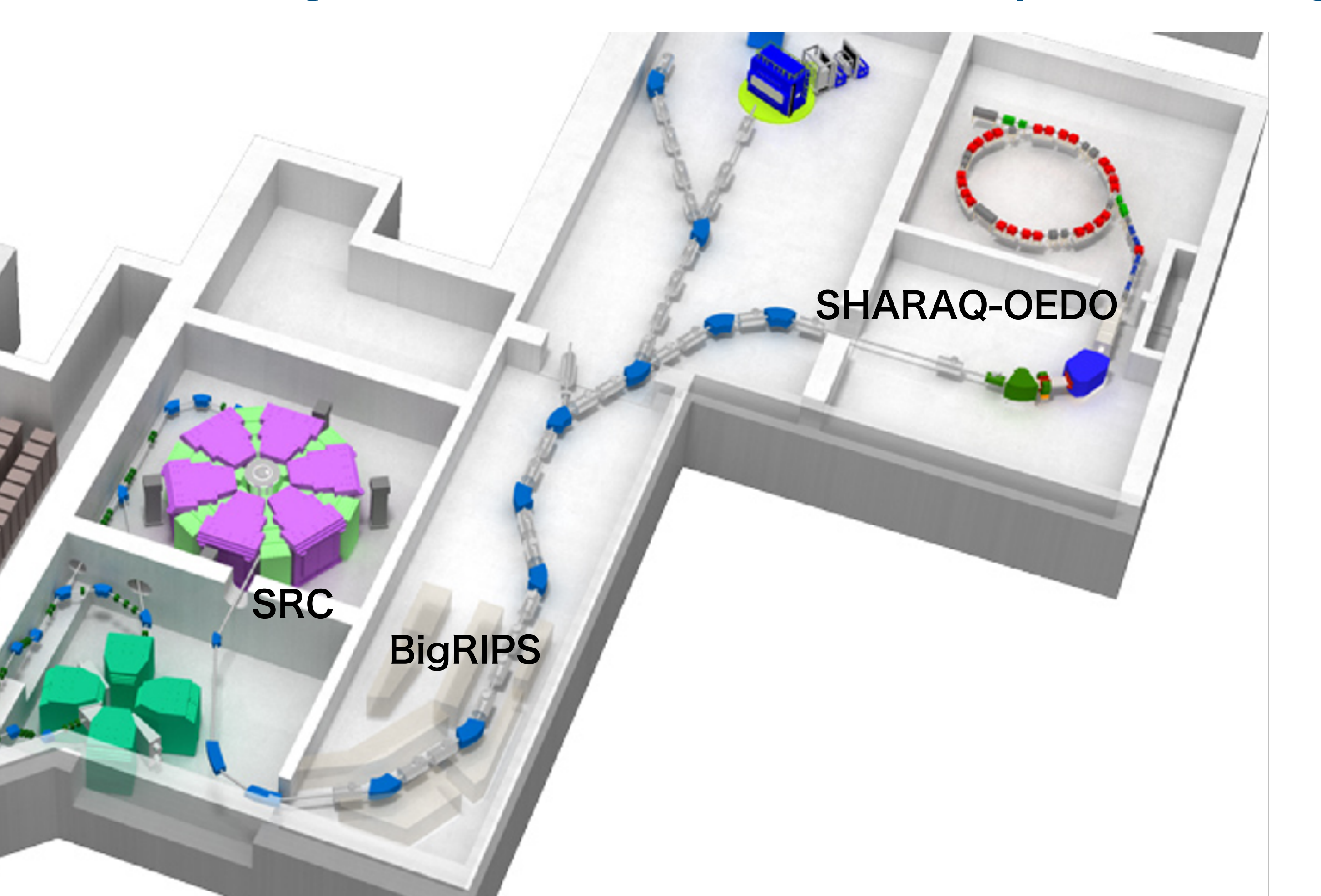
### RI Beam Factory at RIKEN

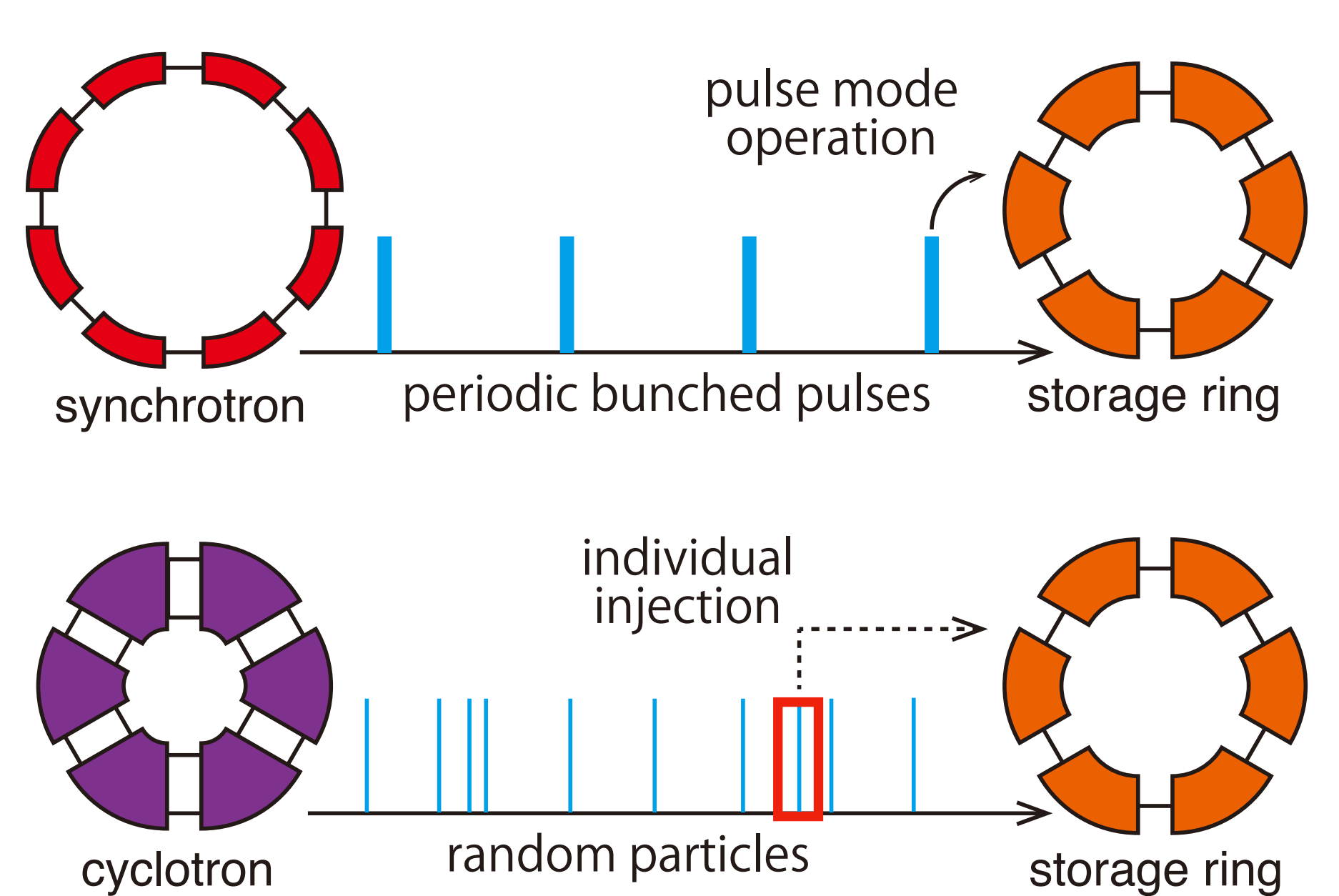
4 Cyclotrons cascade operation



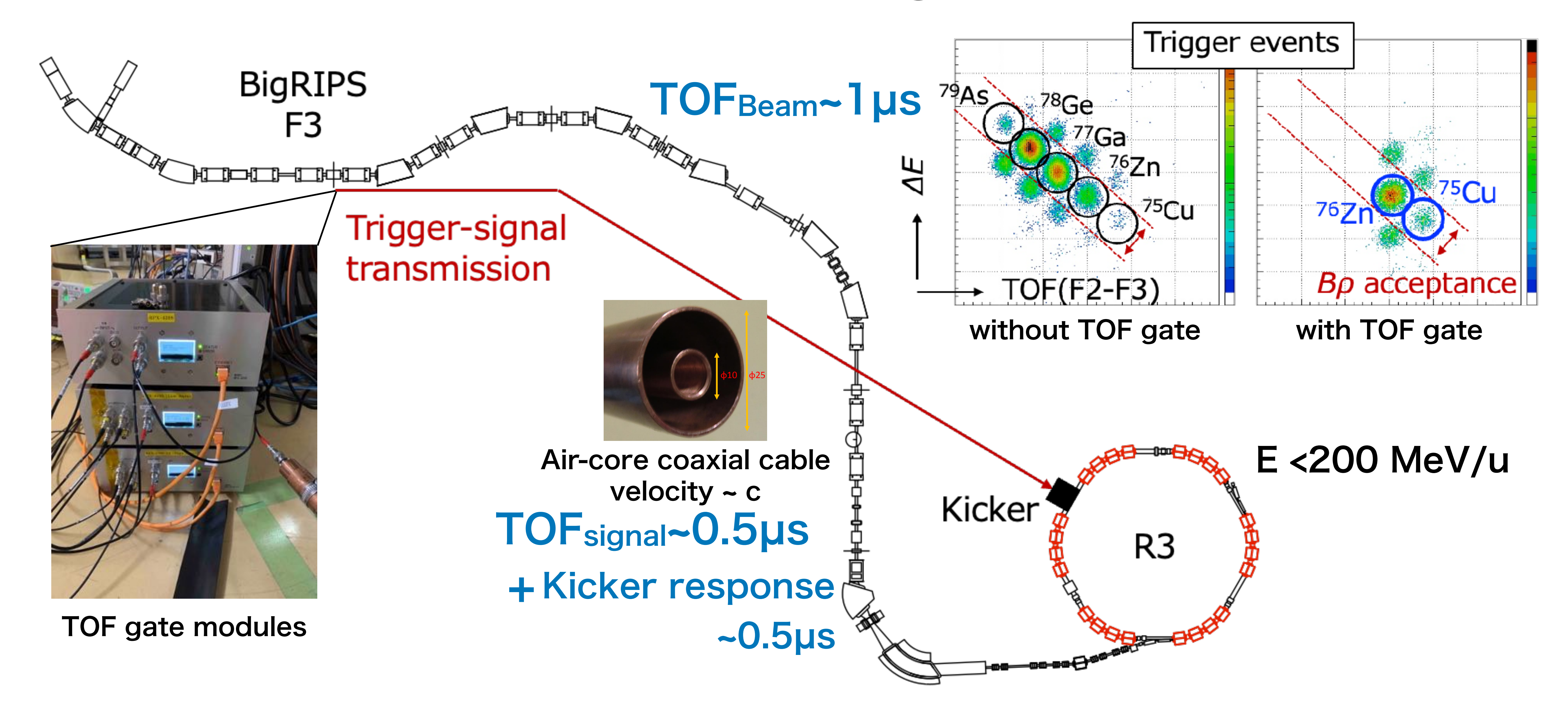
## Rare-RI Ring facility

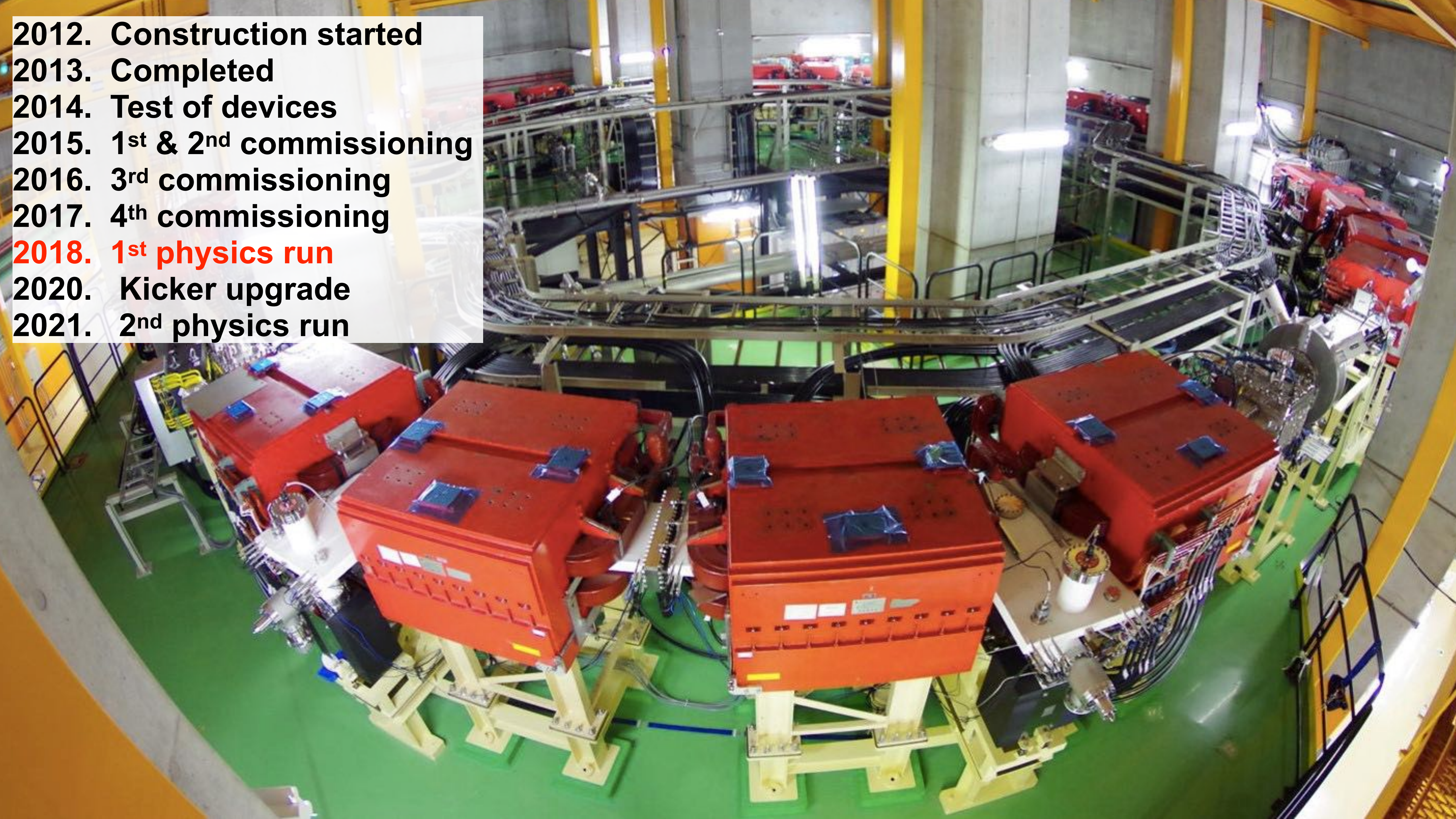
- √ Individual injection method
- √ Single-ion Isochronous Mass Spectrometry





## Individual Injection





Rare-RI Ring facility: R3 **Lattice Structure & Devices** 

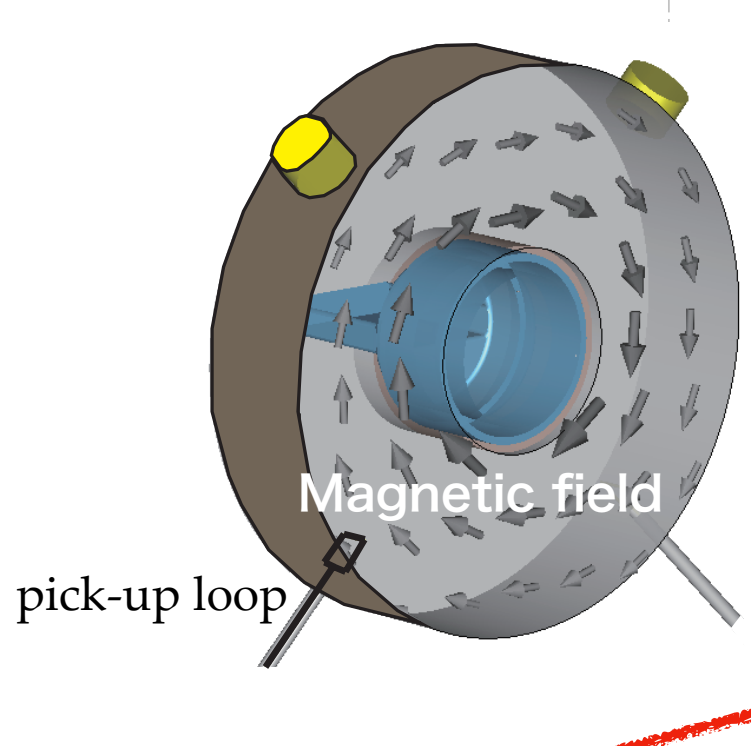


10 trim coils for precise isochronous field



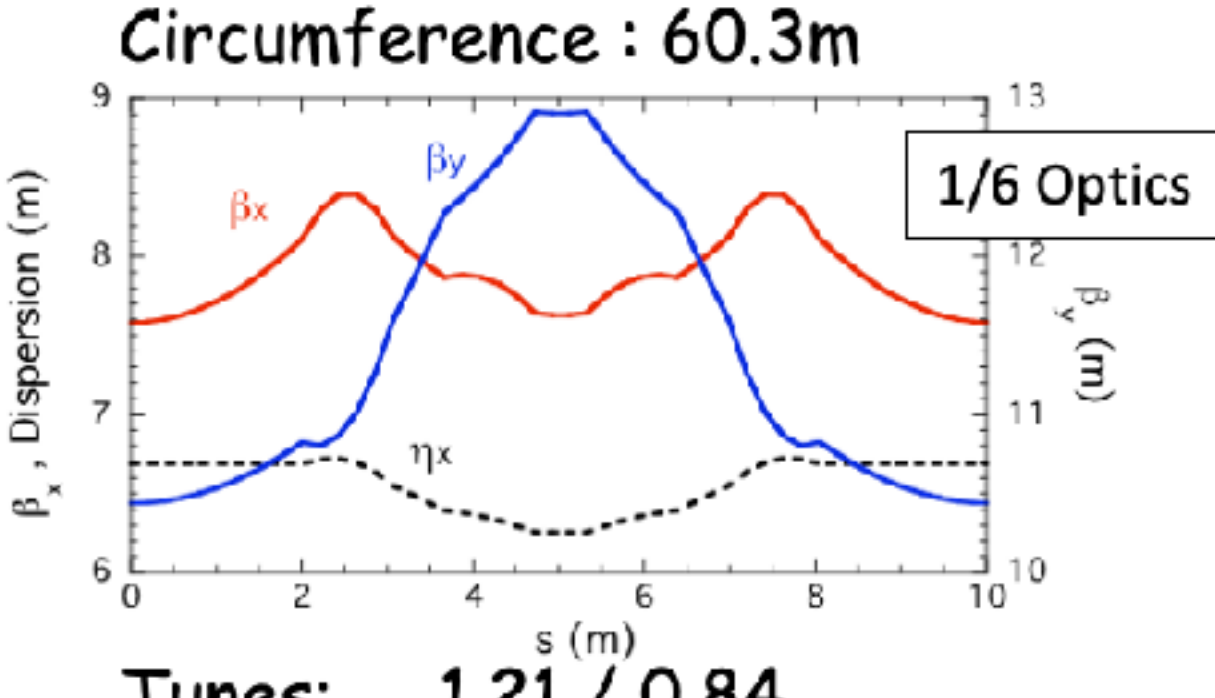
Sector magnets

Extraction septum magnets



Resonant Schottky pickup

Hexagonal-Symmetry Weak-Focusing Lattice Structure

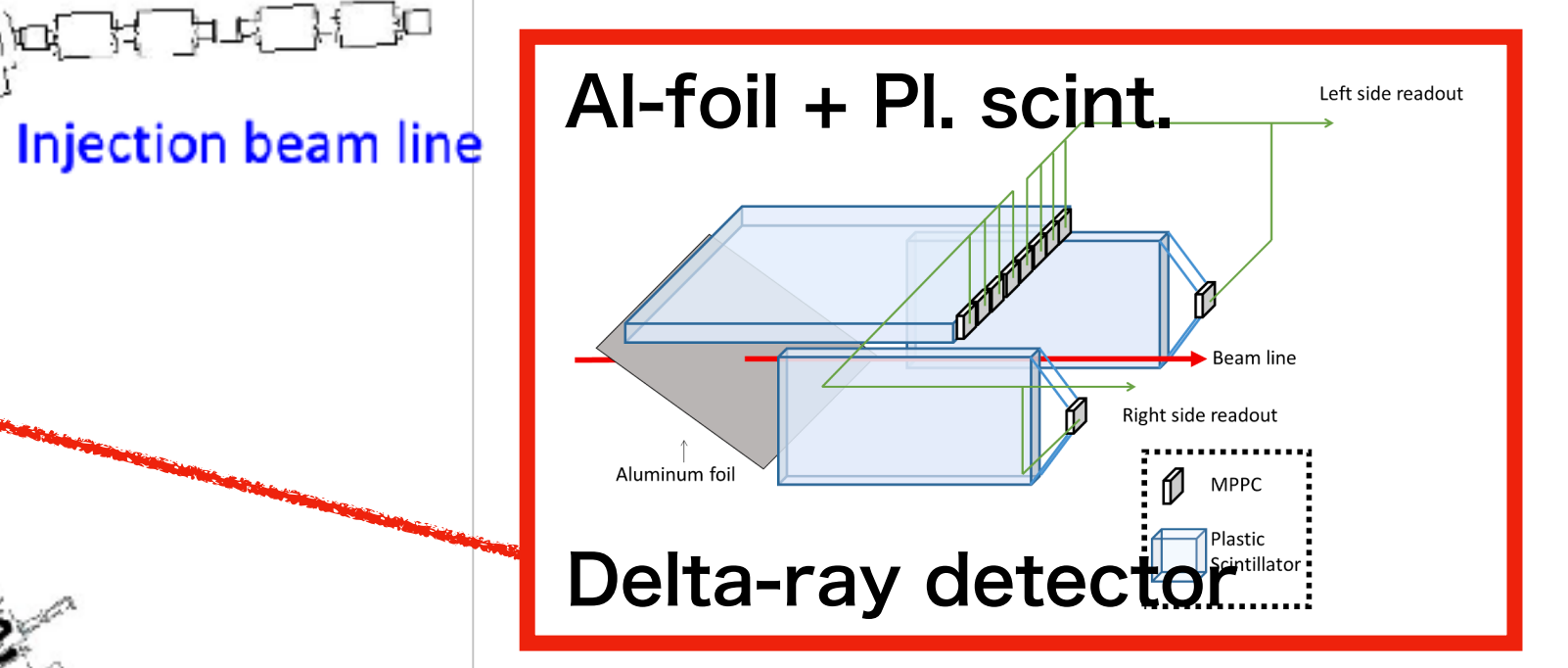


1.21 / 0.84 Tunes: Acceptance:

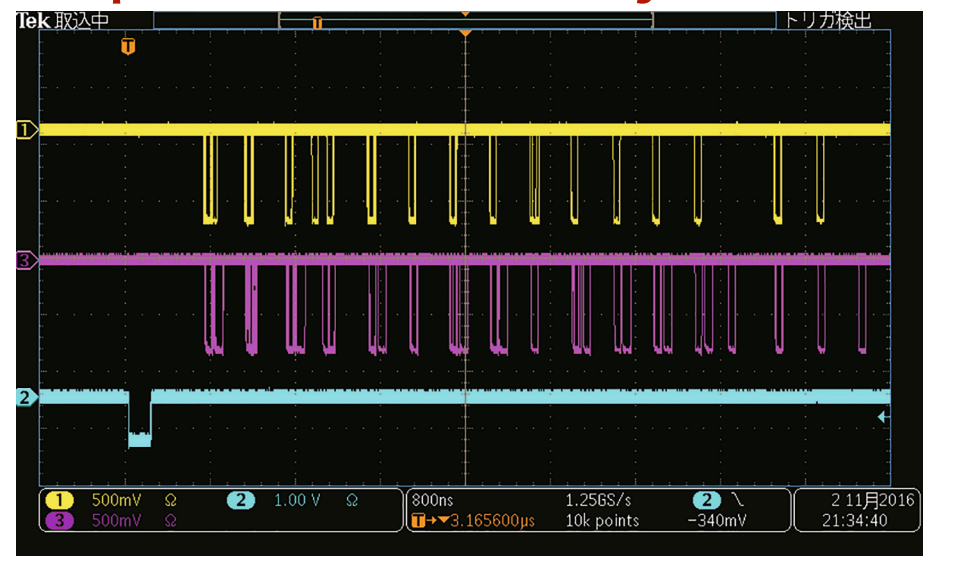
Injection septum magnets

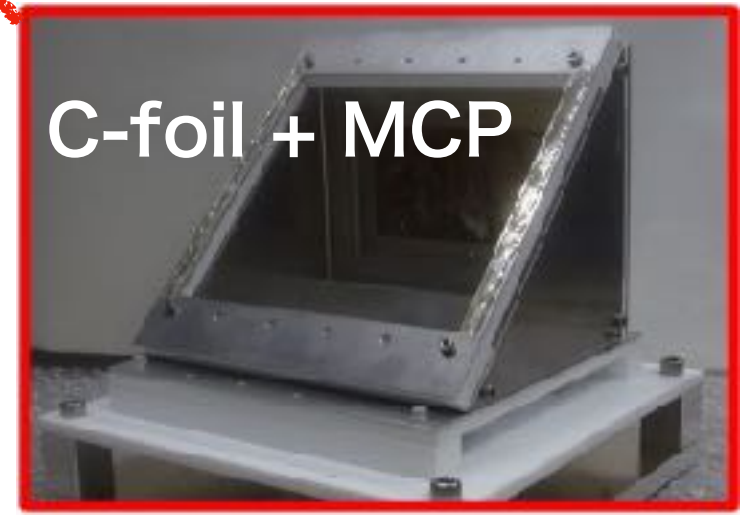
Momentum  $\Delta P/P = \pm 0.5\%$ 

Transverse  $20\pi / 10\pi$  mm mrad

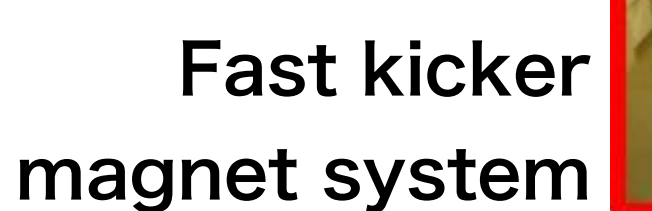


Periodic pulses successfully observed





Secondary electrons **TOF** detector



#### Mass Measurement Principle

$$\frac{T_0}{2\pi} = \frac{m_0\gamma_0/q}{B\gamma_0}$$

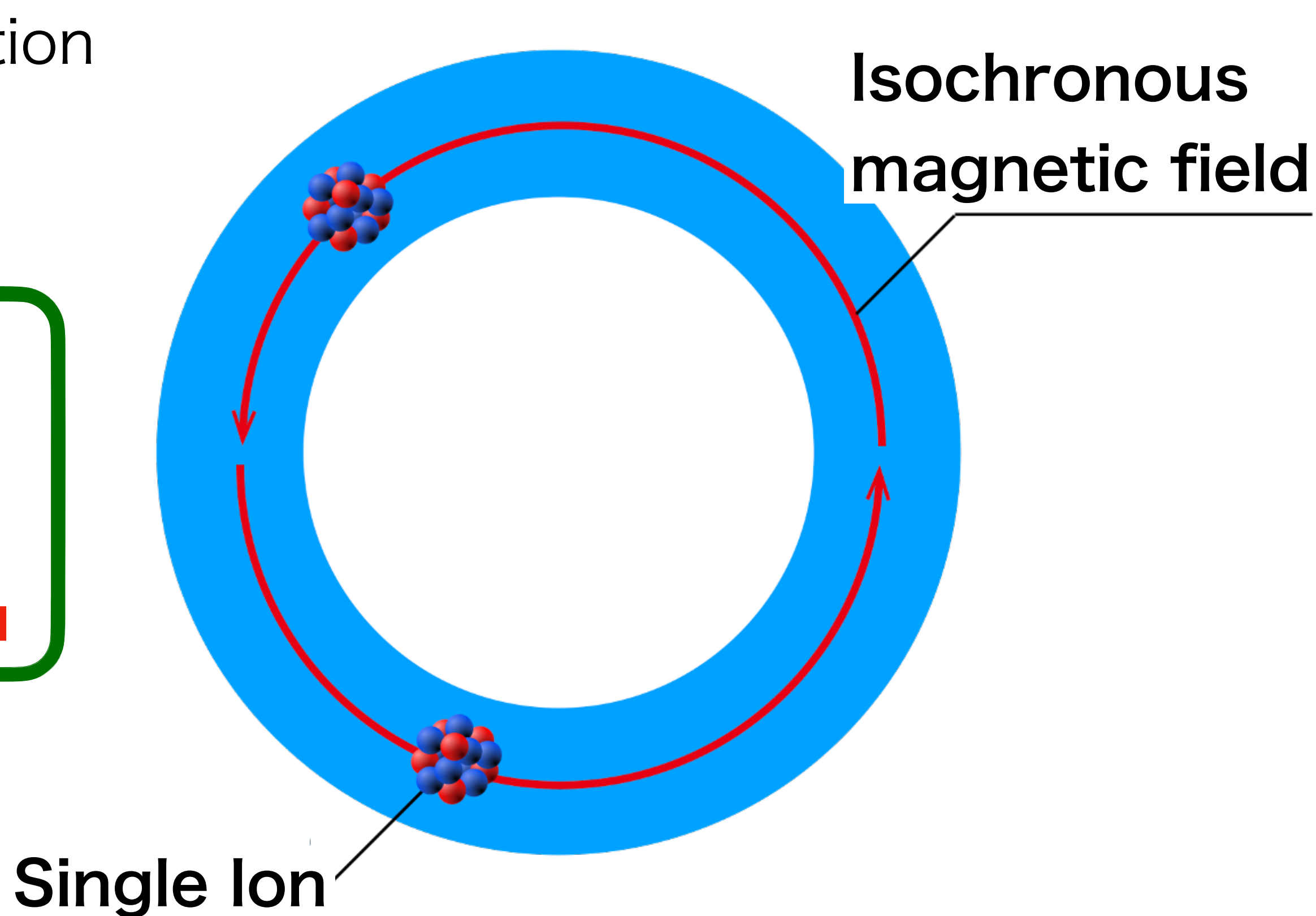
Isochronous condition for reference particle

$$\frac{T_1}{2\pi} = \frac{m_1 \gamma_1 / q}{B \gamma_0}$$

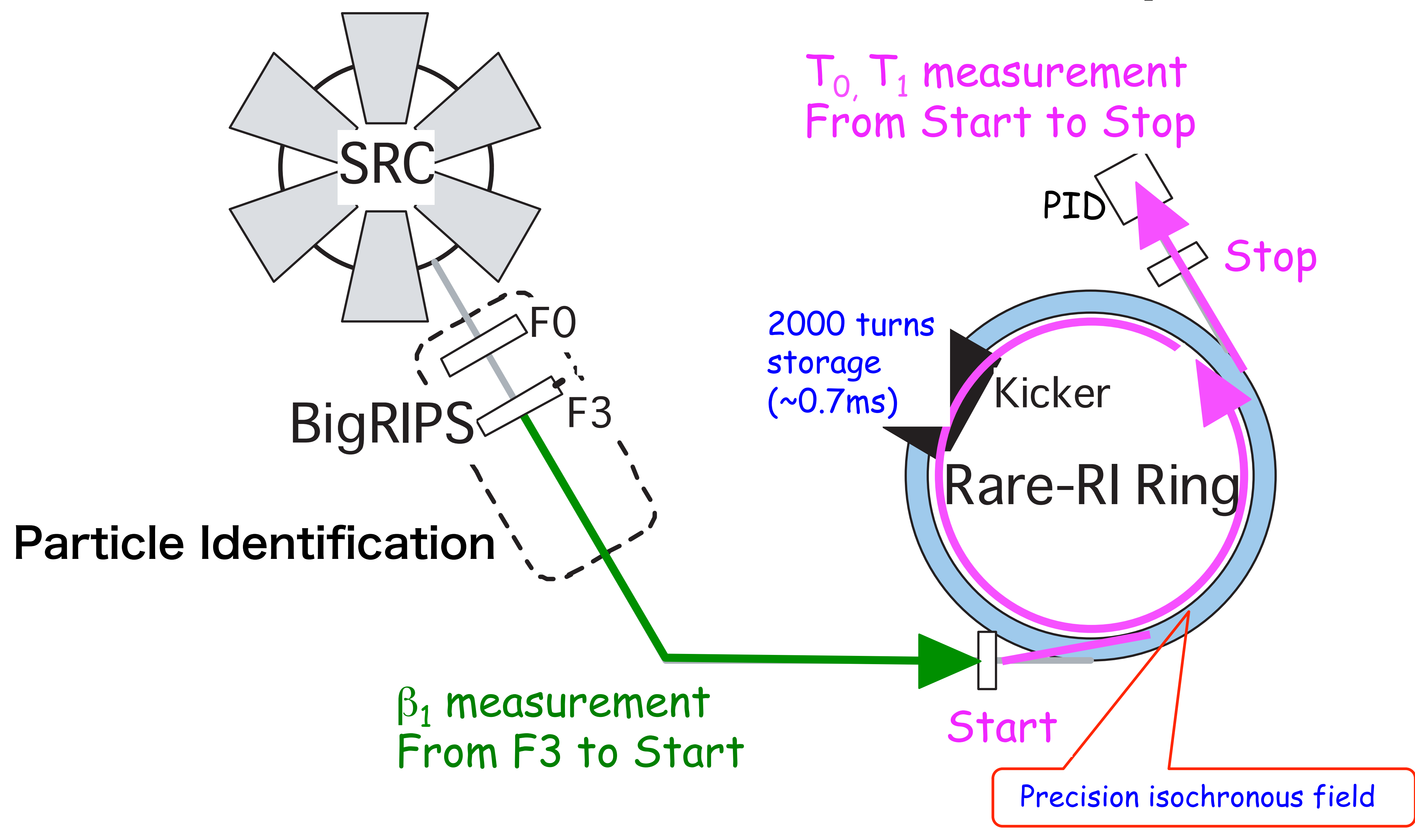
Non-isochronous condition for particle of interest

$$\frac{m_1}{q_1} = \left(\frac{m_0}{q_0}\right) \frac{1}{T_0} \left(T_1 \sqrt{\frac{1 + \beta_1^2}{1 - \left\{\left(T_1/T_0\right)\beta_1\right\}^2}}\right) = \left(\frac{m_0}{q_0}\right) \frac{T_{1corr}}{T_0}$$
Isochronous
reference
to be measured

**Use particles**with same Bp

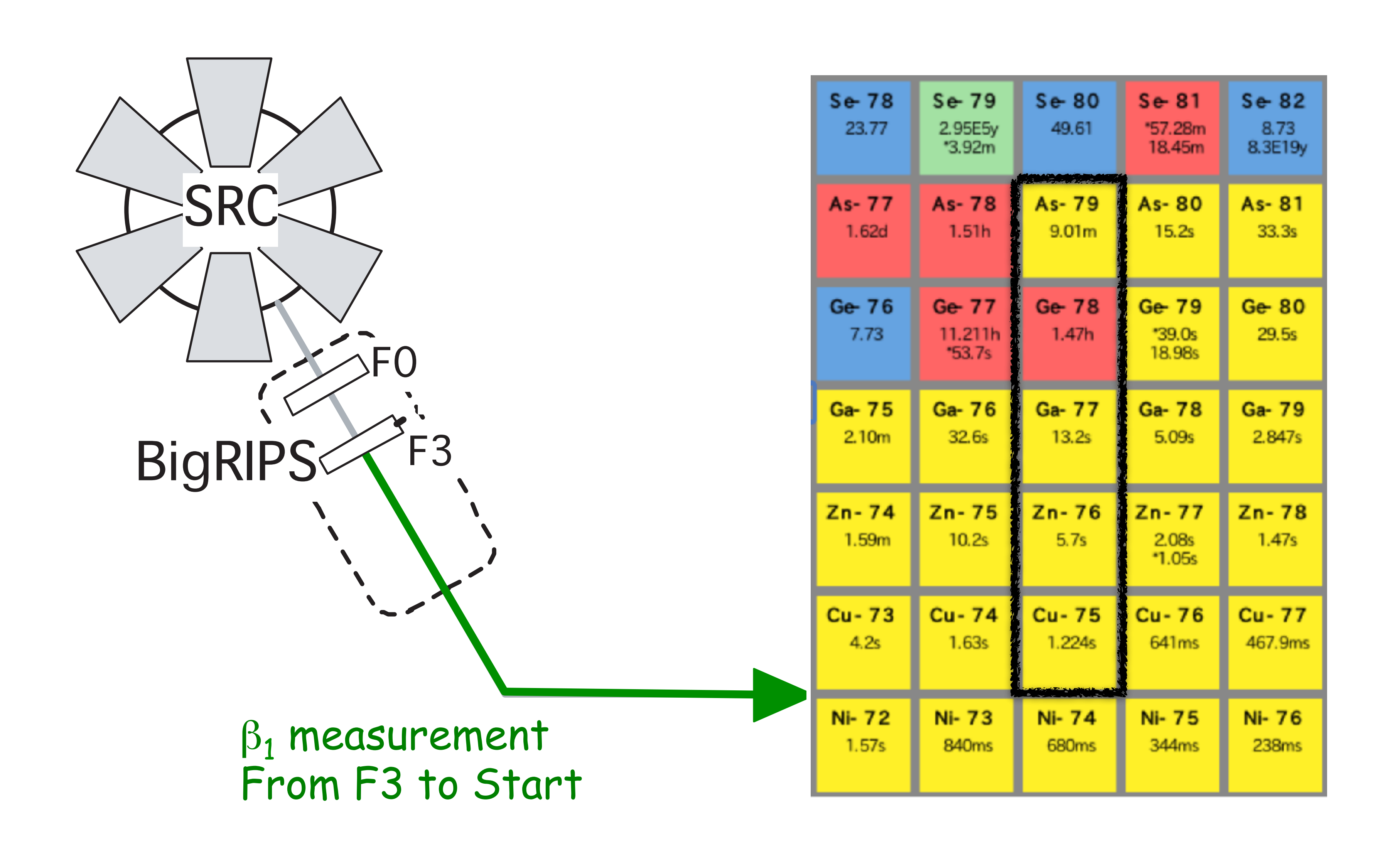


#### Mass Measurement Principle

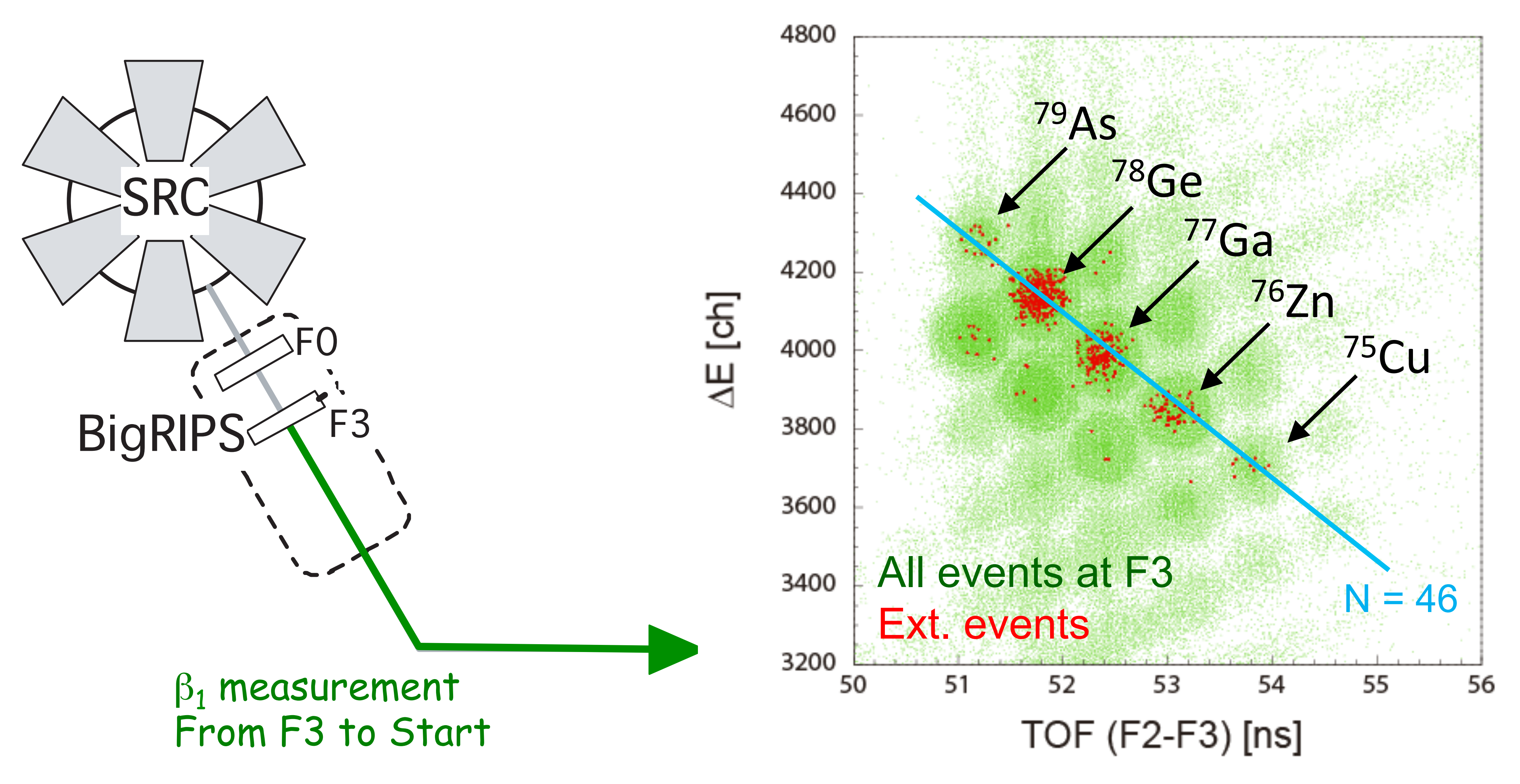


### Commissioning

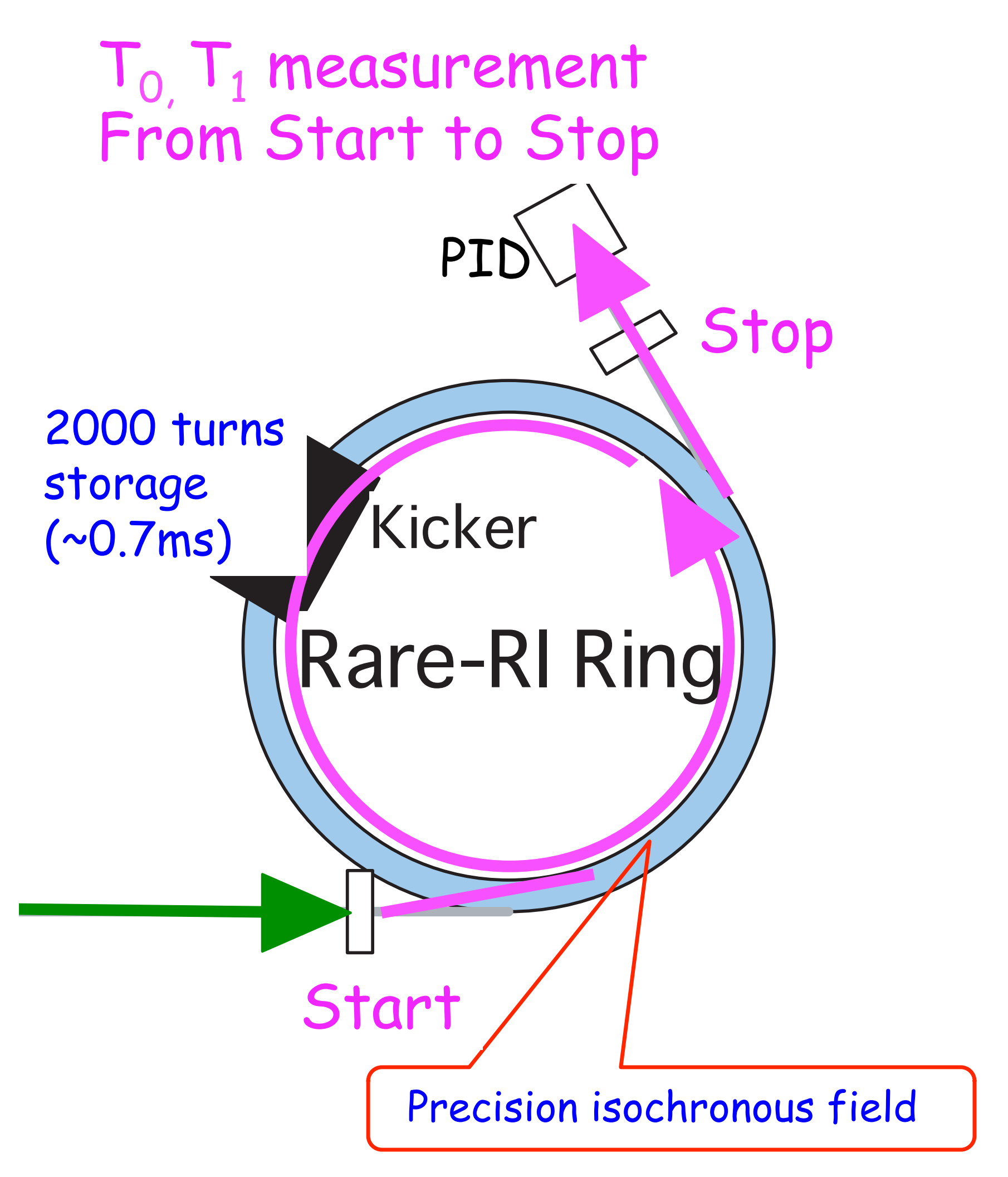
#### <sup>238</sup>U 345 MeV/u → <sup>78</sup>Ge 168 MeV/u fission fragments



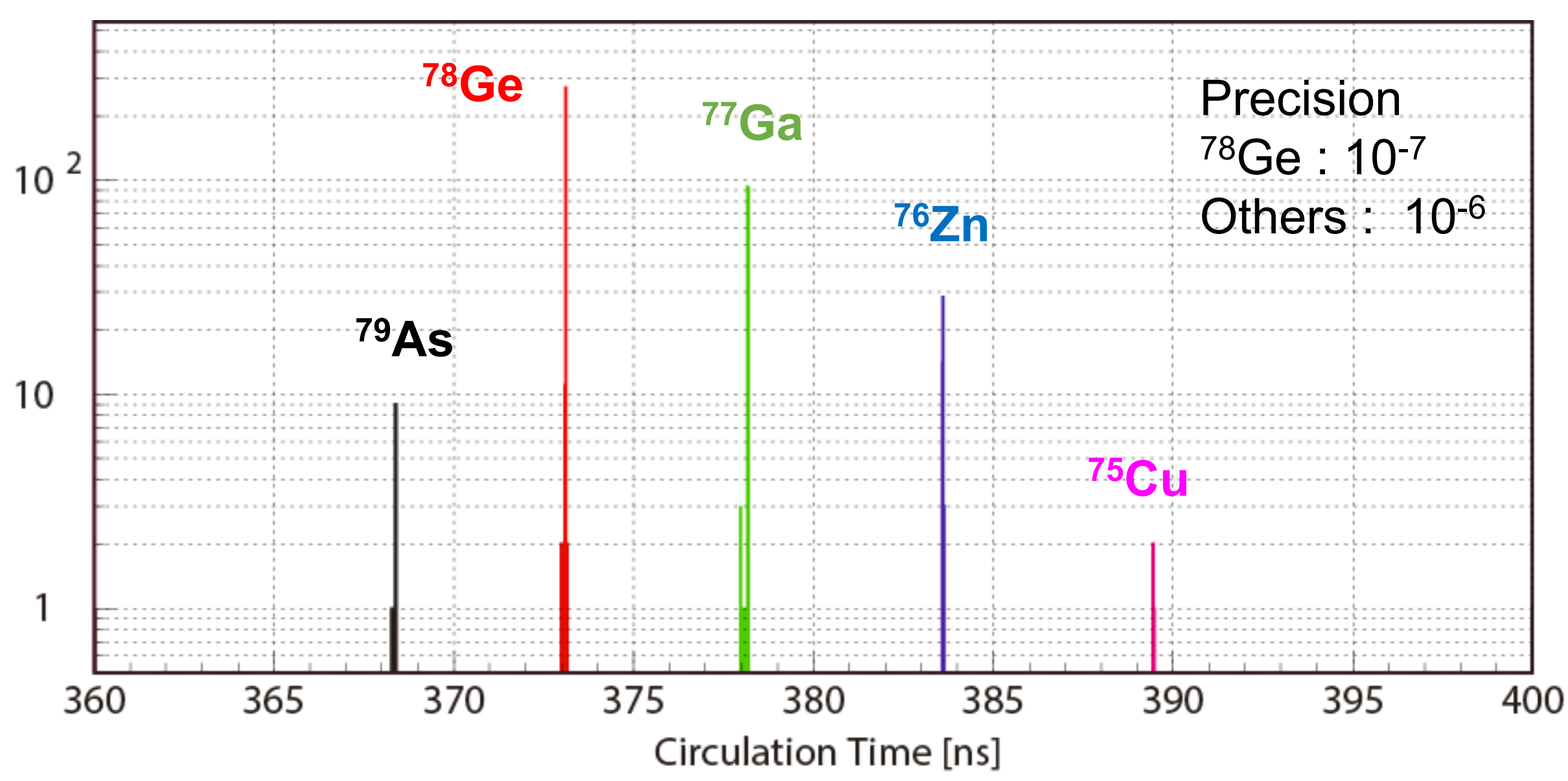
## Commissioning 238U 345 MeV/u → 78Ge 168 MeV/u fission fragments



## Commissioning 238U 345 MeV/u → 78Ge 168 MeV/u fission fragments



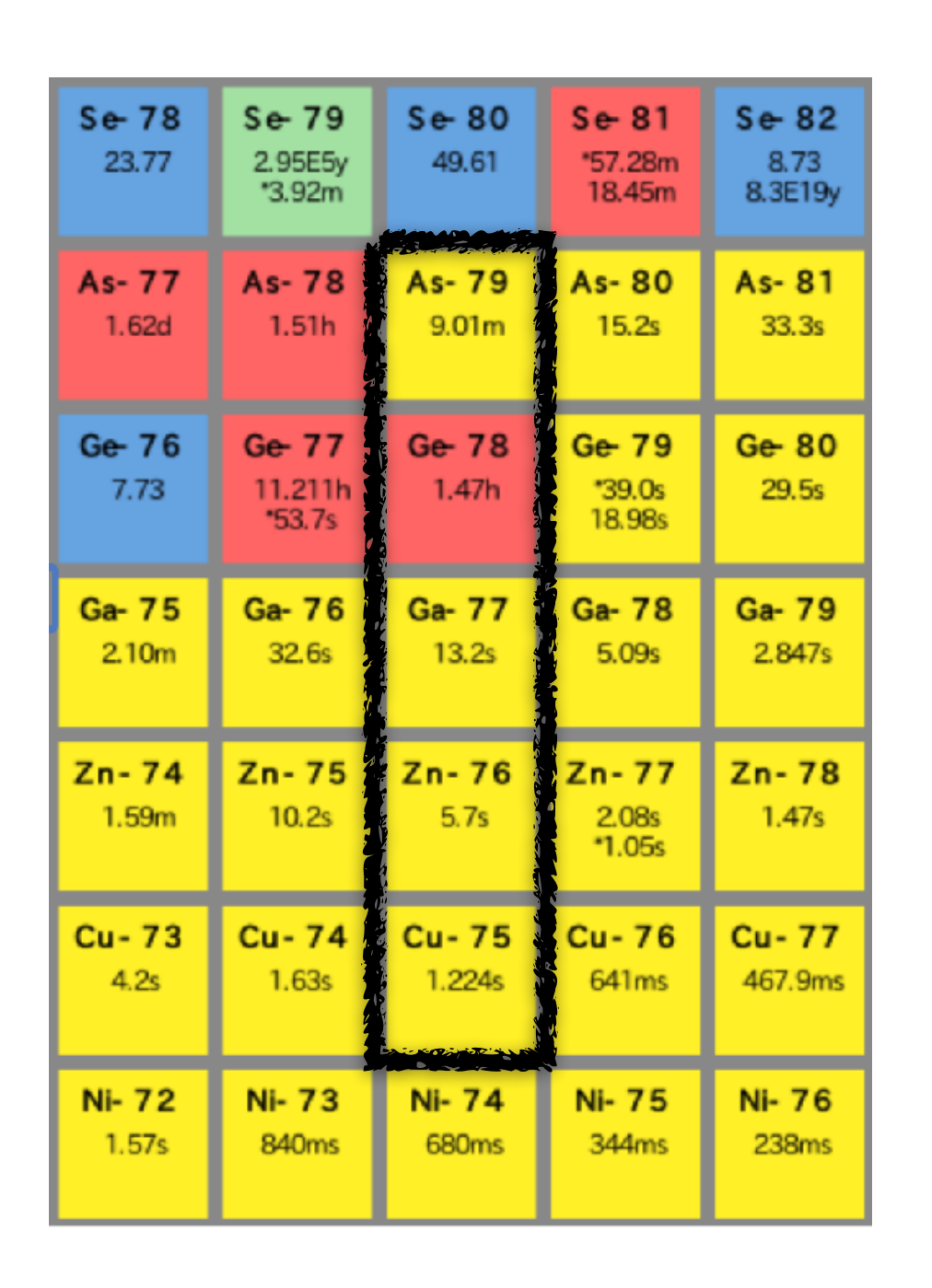
#### **Revolution Time Spectrum**

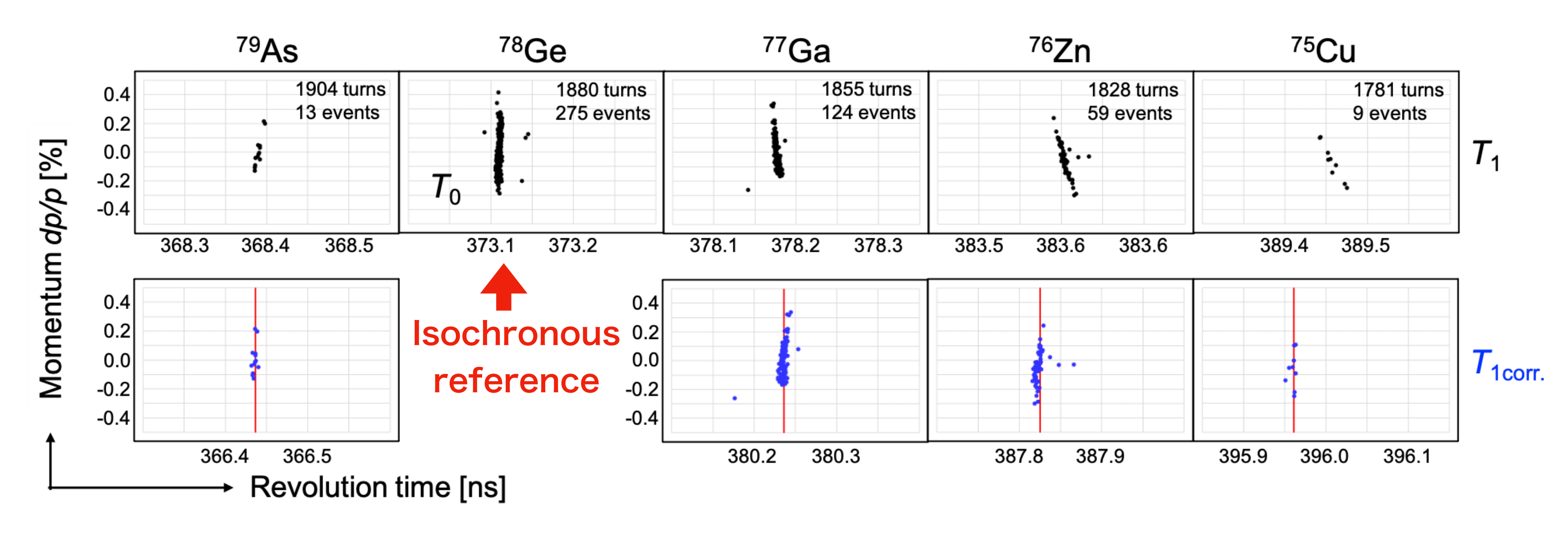


#### Mass Commissioning

#### With known masses

<sup>238</sup>U 345 MeV/u → <sup>78</sup>Ge 168 MeV/u fission fragments



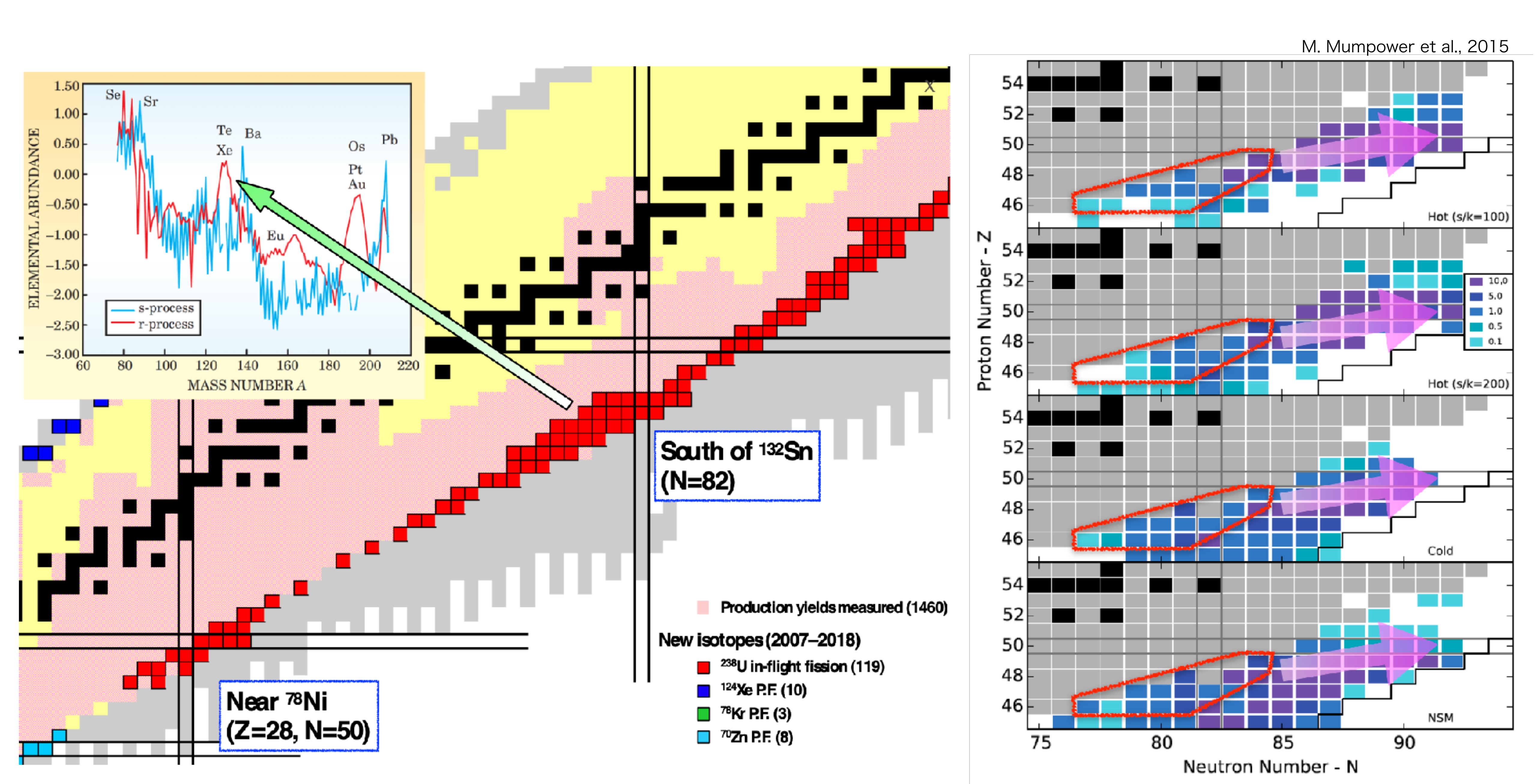


## Results consistent with AME2020 Accuracy < ~10<sup>-5</sup>

### First application

Spokesperson: S. Naimi

#### Masses around N=82



### New mass measurement with R3

+	<b>↑</b>	7			<sup>125</sup> Cs	<sup>126</sup> Cs	<sup>127</sup> Cs	<sup>128</sup> Cs	<sup>129</sup> Cs	<sup>130</sup> Cs	<sup>131</sup> Cs	<sup>132</sup> Cs	<sup>133</sup> Cs	<sup>134</sup> Cs	<sup>135</sup> Cs	<sup>136</sup> Cs	<sup>137</sup> Cs	<sup>138</sup> Cs	<sup>139</sup> Cs	140	h
←	<b>ড</b>		uclid	$\overline{}$	<sup>124</sup> Xe	<sup>125</sup> Xe	<sup>126</sup> Xe	<sup>127</sup> Xe	<sup>128</sup> Xe	<sup>129</sup> Xe	<sup>130</sup> Xe	<sup>131</sup> Xe	<sup>132</sup> Xe	<sup>133</sup> Xe	<sup>134</sup> Xe	<sup>135</sup> Xe	<sup>136</sup> Xe	<sup>137</sup> Xe	<sup>138</sup> Xe	139)	0
<b>1</b>	<b>+</b>	_ [	23Pc		123	124	<sup>125</sup>	<sup>126</sup>	127	<sup>128</sup>	<sup>129</sup>	<sup>130</sup>	131	<sup>132</sup>	<sup>133</sup>	<sup>134</sup>	135	<sup>136</sup>	137	<sup>138</sup>	8
Те	<sup>118</sup> Te	<sup>119</sup> Te	<sup>120</sup> Te	<sup>121</sup> Te	<sup>122</sup> Te	<sup>123</sup> Te	<sup>124</sup> Te	<sup>125</sup> Te	<sup>126</sup> Te	<sup>127</sup> Te	<sup>128</sup> Te	<sup>129</sup> Te	<sup>130</sup> Te	<sup>131</sup> Te	<sup>132</sup> Te	<sup>133</sup> Te	<sup>134</sup> Te	<sup>135</sup> Te	<sup>136</sup> Te	1377	1.
Sb	<sup>ll7</sup> Sb	<sup>118</sup> Sb	<sup>119</sup> Sb	<sup>120</sup> Sb	<sup>121</sup> Sb				<sup>125</sup> Sb	<sup>126</sup> Sb	<sup>127</sup> Sb	<sup>128</sup> Sb	<sup>129</sup> Sb	<sup>130</sup> Sb	<sup>131</sup> Sb	<sup>132</sup> Sb	<sup>133</sup> Sb	<sup>134</sup> Sb	<sup>135</sup> Sb	136ç	4
		<sup>117</sup> Sn			<sup>120</sup> Sn	<sup>121</sup> Sn	<sup>122</sup> Sn	<sup>123</sup> Sn	<sup>124</sup> Sn	<sup>125</sup> Sn	<sup>126</sup> Sn	<sup>127</sup> Sn	<sup>128</sup> Sn	<sup>129</sup> Sn	<sup>130</sup> Sn				<sup>134</sup> Sn	1355	1
				<sup>II8</sup> In		<sup>120</sup> In		<sup>122</sup> In			<sup>125</sup> In	<sup>126</sup> In		<sup>128</sup> In	<sup>129</sup> In	<sup>130</sup> In	<sup>l31</sup> In	<sup>132</sup> In	<sup>133</sup> In	134	2
		<sup>115</sup> Cd											<sup>126</sup> Cd							133	0
				<sup>116</sup> Ag									<sup>125</sup> Ag				<sup>129</sup> Ag		<sup>131</sup> Ag	170	0
					116Pd								124Pd								1.
																					3
				114Rh		<sup>116</sup> Rh		_					<sup>123</sup> Rh				<sup>127</sup> Rh	°RN		0.5	6
					<sup>114</sup> Ru	,					<sup>120</sup> Ru		<sup>122</sup> Ru		<sup>124</sup> Ru				84	85	U
							<sup>115</sup> Tc			118 <sub>TC</sub>	nKr	10W	n n	<sup>122</sup> Tc <b>nas</b>	ses		82	83			2
Мо	<sup>IO8</sup> Mo	<sup>109</sup> Mo	ПОМо	ШМо	<sup>112</sup> Mo	<sup>113</sup> Mo	<sup>II4</sup> Mo	ПБМо	<sup>116</sup> Mo	Ш/Мо	ПВМо	<sup>па</sup> Мо			80	81					4

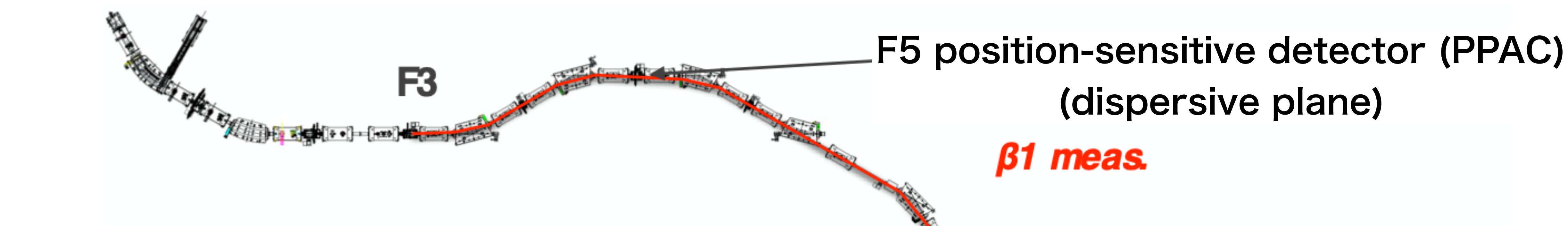
nalf life [s]							
0	83.4						
8.2E-4	1.6E2						
1.4E-2	2.9E2						
4.6E-2	6E2						
1.E-1	1.3E3						
2.3E-1	3E3						
0.5	8.6E3						
0.9	3.4E4						
1.8	1.4E5						
3.5	1.1E6						
6.2	3E7						
12	1E14						
23.5	2E32						
43	Stable						

### New mass measurement with R3

																					-
+	<b>1</b>	7			<sup>125</sup> Cs	<sup>126</sup> Cs	<sup>127</sup> Cs	<sup>128</sup> Cs	<sup>129</sup> Cs	<sup>130</sup> Cs	<sup>131</sup> Cs	<sup>132</sup> Cs	<sup>133</sup> Cs	<sup>134</sup> Cs	<sup>135</sup> Cs	<sup>136</sup> Cs	<sup>137</sup> Cs	<sup>138</sup> Cs	<sup>139</sup> Cs	140	h
<b>←</b>	ۍ ن		uclid	$\overline{}$	<sup>124</sup> Xe	<sup>125</sup> Xe	<sup>126</sup> Xe	<sup>127</sup> Xe	<sup>128</sup> Xe	<sup>129</sup> Xe	<sup>130</sup> Xe	<sup>131</sup> Xe	<sup>132</sup> Xe	<sup>133</sup> Xe	<sup>134</sup> Xe	<sup>135</sup> Xe	<sup>136</sup> Xe	<sup>137</sup> Xe	<sup>138</sup> Xe	139)	0
V	, 	_ []	23Pc		123 <sub> </sub>	124 <sub>1</sub>	125 <sub>1</sub>	126 <sub>1</sub>	127 <sub>1</sub>	128 <sub>1</sub>	129 <sub>1</sub>	130 <sub>1</sub>	131 <sub>1</sub>	132 <sub>1</sub>	133 <sub>1</sub>	134 <sub>1</sub>	135 <sub>1</sub>	136 <sub>1</sub>	137	138 <sub>1</sub>	8
	110	110	120	101	122	107	127	125	126	107	120	120	170	171	170	177	17/	175	17.0	177	ſ
Те	<sup>118</sup> Te	<sup>II9</sup> Te	<sup>120</sup> Te	<sup>121</sup> Te	<sup>122</sup> Te	<sup>123</sup> Te	<sup>124</sup> Te	<sup>125</sup> Te	<sup>126</sup> Te	<sup>127</sup> Te	<sup>128</sup> Te	<sup>129</sup> Te	<sup>130</sup> Te	<sup>131</sup> Te	<sup>132</sup> Te	<sup>133</sup> Te	<sup>134</sup> Te	<sup>135</sup> Te	<sup>136</sup> Te	13/7	
Sb	<sup>117</sup> Sb	<sup>118</sup> Sb	<sup>119</sup> Sb	<sup>120</sup> Sb	<sup>121</sup> Sb	<sup>122</sup> Sb	<sup>123</sup> Sb	<sup>124</sup> Sb	<sup>125</sup> Sb	<sup>126</sup> Sb	<sup>127</sup> Sb	<sup>128</sup> Sb	<sup>129</sup> Sb	<sup>130</sup> Sb	<sup>131</sup> Sb	<sup>132</sup> Sb	<sup>133</sup> Sb	<sup>134</sup> Sb	<sup>135</sup> Sb	136ر	Ĺ
Sn	<sup>116</sup> Sn	<sup>117</sup> Sn	<sup>118</sup> Sn	<sup>119</sup> Sn	<sup>120</sup> Sn	<sup>121</sup> Sn	<sup>122</sup> Sn	<sup>123</sup> Sn	<sup>124</sup> Sn	<sup>125</sup> Sn	<sup>126</sup> Sn	<sup>127</sup> Sn	<sup>28</sup> Sn	126m	n: 90	(7)ke	<b>^</b> //	<sup>33</sup> Sn	<sup>134</sup> Sn	135 <sub>C</sub>	ļ
						1								•	11. 00	(1)100	, v				2
In	<sup>II5</sup> In	<sup>ll6</sup> ln	<sup>II7</sup> In	<sup>II8</sup> In	<sup>II9</sup> In	<sup>120</sup> In	125r	nCd:	186(	4)ke\	√ <sup>n</sup>	<sup>126</sup> In	111	<sup>iza</sup> In	<sup>129</sup> In	<sup>I30</sup> In	<sup>isi</sup> In	l <sup>i32</sup> ln	l <sup>133</sup> ln	1.54	
Cd	<sup>114</sup> Cd	<sup>115</sup> Cd	<sup>116</sup> Cd	<sup>117</sup> Cd	<sup>118</sup> Cd	<sup>119</sup> Cd	IZ	<u> </u>	,	, 	70	<sup>125</sup> Cd	<sup>26</sup> Cd	<sup>127</sup> Cd	<sup>128</sup> Cd	<sup>129</sup> Cd	<sup>130</sup> Cd	<sup>131</sup> Cd	<sup>132</sup> Cd	133(	
Ag	<sup>113</sup> Ag	<sup>114</sup> Ag	<sup>115</sup> Ag	<sup>116</sup> Ag	<sup>117</sup> Ag	<sup>118</sup> Ag	<sup>119</sup> Ag	<sup>120</sup> Ag	<sup>121</sup> Ag	<sup>122</sup> Ag	<sup>123</sup> Ag	<sup>124</sup> Ag	<sup>25</sup> Ag	<sup>126</sup> Ag	<sup>127</sup> Ag	<sup>128</sup> Ag	<sup>129</sup> Ag	<sup>130</sup> Ag	<sup>131</sup> Ag	132/	
24	<sup>112</sup> Pd	113 <sub>Dd</sub>	114pd	115 <sub>D</sub> 4	<sup>116</sup> Pd	117 <sub>Dd</sub>	118D4	119 D.J	<sup>120</sup> Pd	121 <sub>D</sub> d	<sup>122</sup> Pd	<sup>123</sup> Pd	124pd	125pd	126pa	<sup>127</sup> Pd	128 <sub>D</sub> 4	129 D.d.	130 Dd	131_	4
Ju	Pu	Pu														Pu	Pu	Pu	Pu		3
Rh	<sup>III</sup> Rh	<sup>112</sup> Rh	<sup>113</sup> Rh	<sup>114</sup> Rh	<sup>115</sup> Rh	<sup>116</sup> Rh	<sup>117</sup> Rh	<sup>118</sup> Rh	<sup>119</sup> Rh	<sup>120</sup> Rh	<sup>121</sup> Rh	<sup>122</sup> Rh	<sup>123</sup> Rh	<sup>124</sup> Rh	<sup>125</sup> Rh	<sup>126</sup> Rh	<sup>127</sup> Rh	<sup>128</sup> Rh			6
Ru	<sup>110</sup> Ru	<sup>III</sup> Ru	<sup>112</sup> Ru	<sup>113</sup> Ru	<sup>114</sup> Ru	<sup>115</sup> Ru	<sup>116</sup> Ru	<sup>117</sup> Ru	<sup>118</sup> Ru	<sup>119</sup> Ru	<sup>120</sup> Ru	<sup>121</sup> Ru	<sup>122</sup> Ru	<sup>123</sup> Ru	<sup>124</sup> Ru	<sup>125</sup> Ru			84	85	ī
³Тс	<sup>109</sup> Тс	<sup>110</sup> Tc	<sup>111</sup> Tc	<sup>112</sup> Tc	<sup>113</sup> Tc	<sup>114</sup> Tc	<sup>115</sup> Tc	<sup>116</sup> Tc	<sup>117</sup> Tc	118 <sub>TC</sub>	<sup>119</sup> Tc	<sup>120</sup> Tc	<sup>121</sup> Tc	<sup>122</sup> Tc			 82	83			5
7.	100	100					11/				nkr	110	n n								
Мо	™Mo	<sup>IO9</sup> Mo	ПΩМо	'''Mo	<sup>112</sup> Mo	<sup>пз</sup> Мо	<sup>п4</sup> Мо	пэМо	Мо По	<sup>117</sup> Mo	ПВМо	ПЭМО			80	81					4
	100	100	100	110	777	770	77.7	77 /	11 F	11.0	ham										

nalf life [s]							
0	83.4						
8.2E-4	1.6E2						
1.4E-2	2.9E2						
4.6E-2	6E2						
1.E-1	1.3E3						
2.3E-1	3E3						
0.5	8.6E3						
0.9	3.4E4						
1.8	1.4E5						
3.5	1.1E6						
6.2	3E7						
12	1E14						
23.5	2E32						
43	Stable						

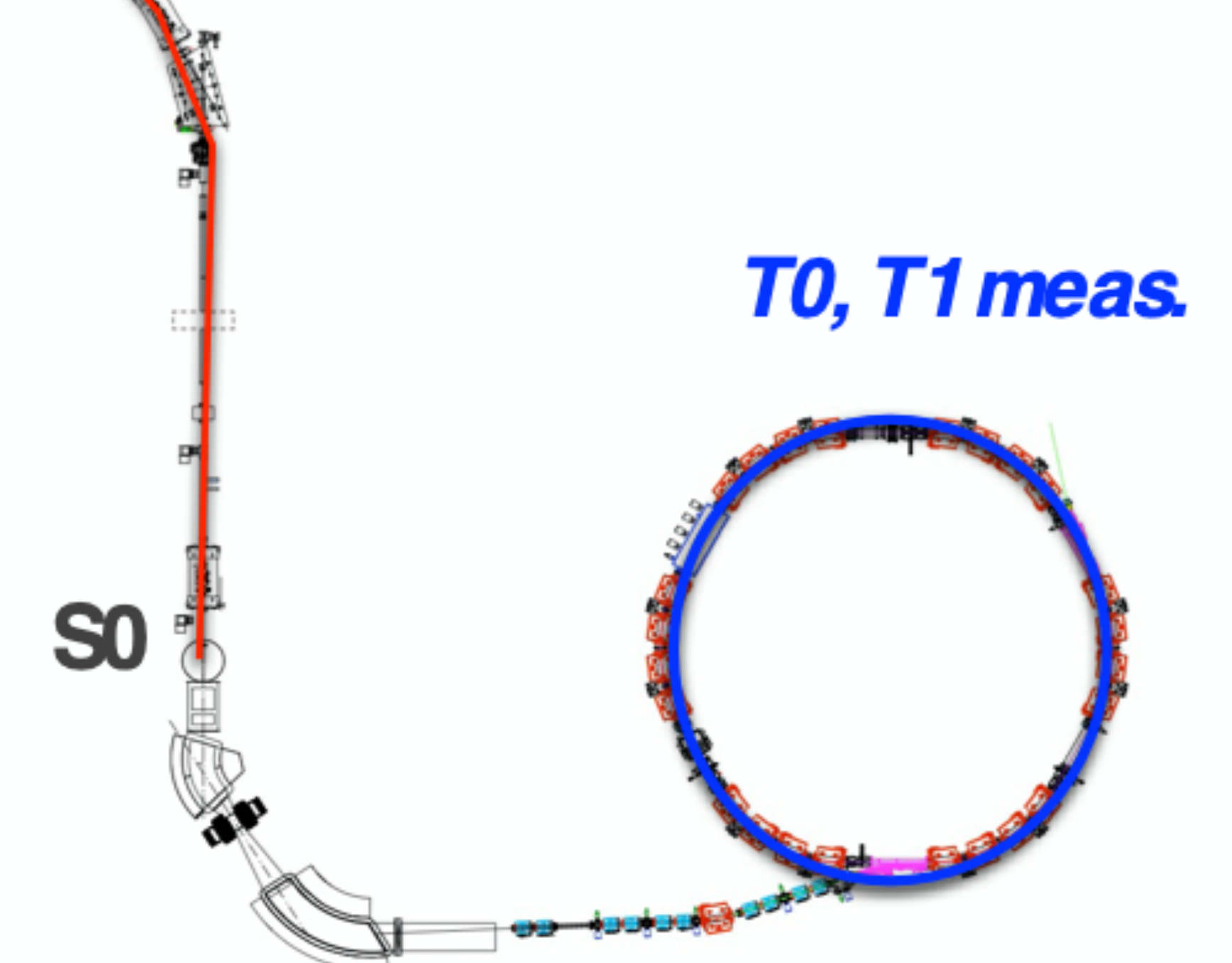
### Mass measurement principle



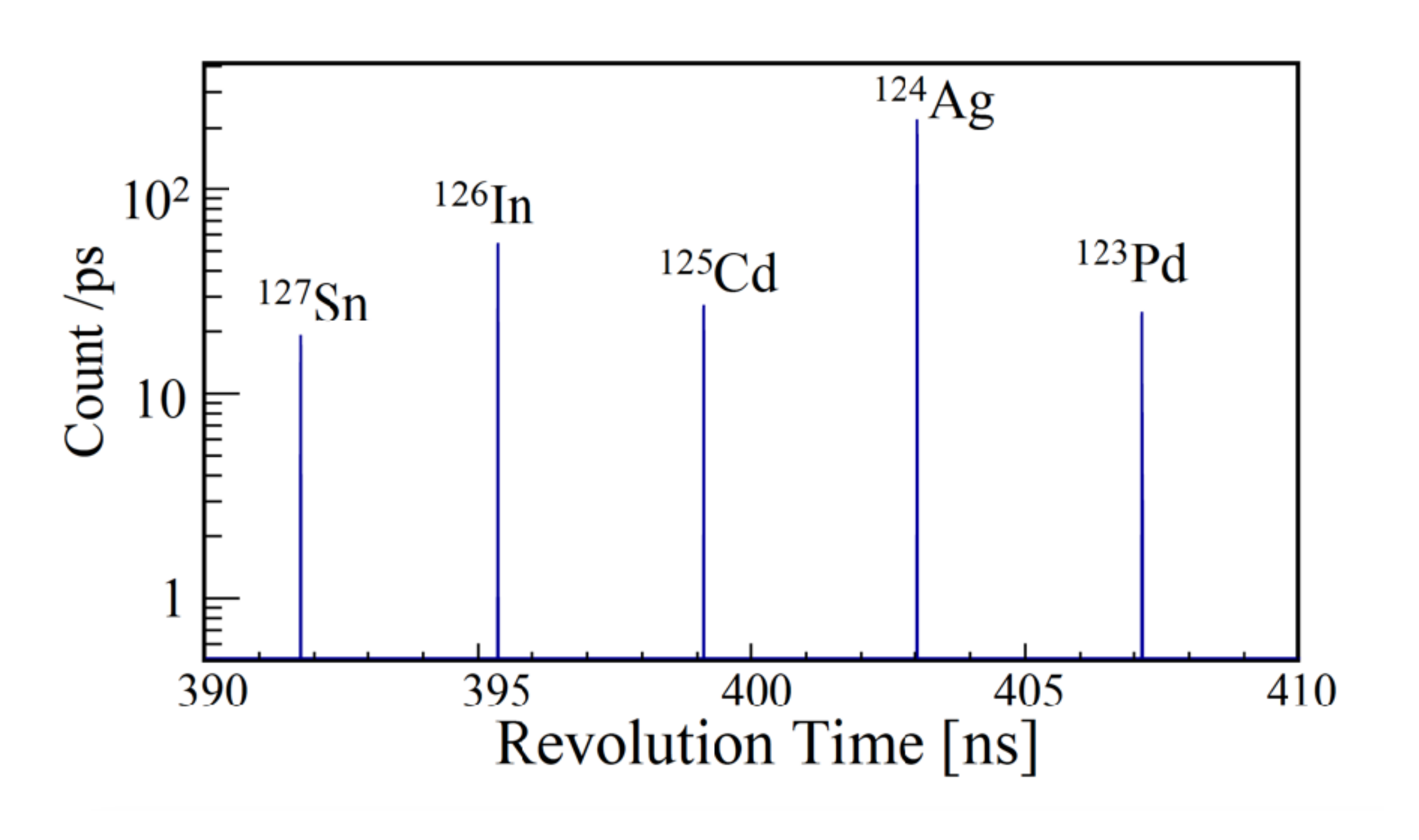
$$\frac{T}{2\pi} = \frac{m/q}{B} \qquad \qquad \frac{T}{2\pi} = \frac{m\gamma/q}{B}$$

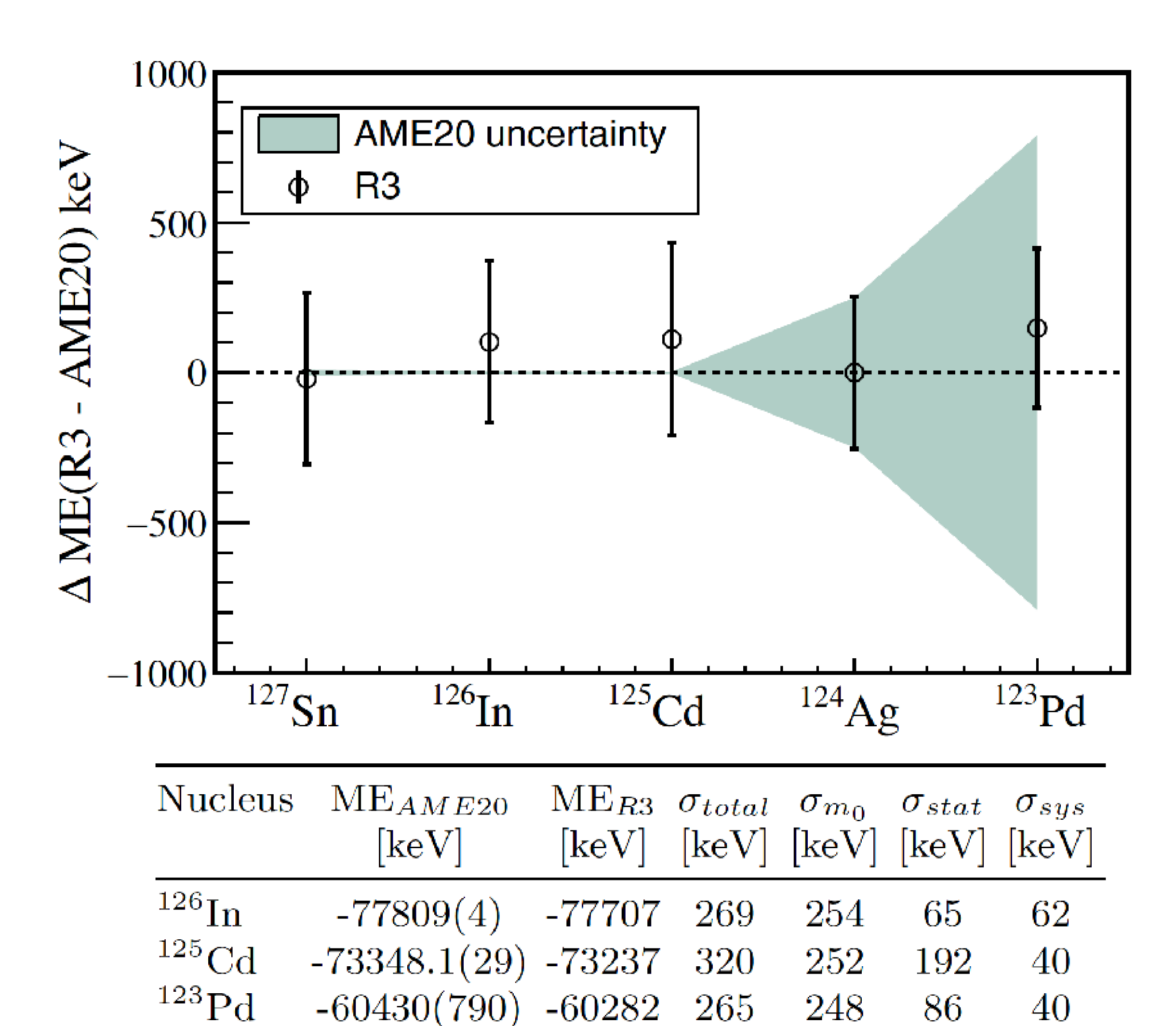
$$\frac{m_1}{q_1} = \left(\frac{m_0}{q_0}\right) \frac{1}{T_0} T_1 \sqrt{\frac{1 - \beta_1^2}{1 - \{(T_1/T_0)\beta_1\}^2}} = \left(\frac{m_0}{q_0}\right) \frac{T_{1corr}}{T_0}$$

m<sub>0</sub> is known massm<sub>1</sub> is unknown mass



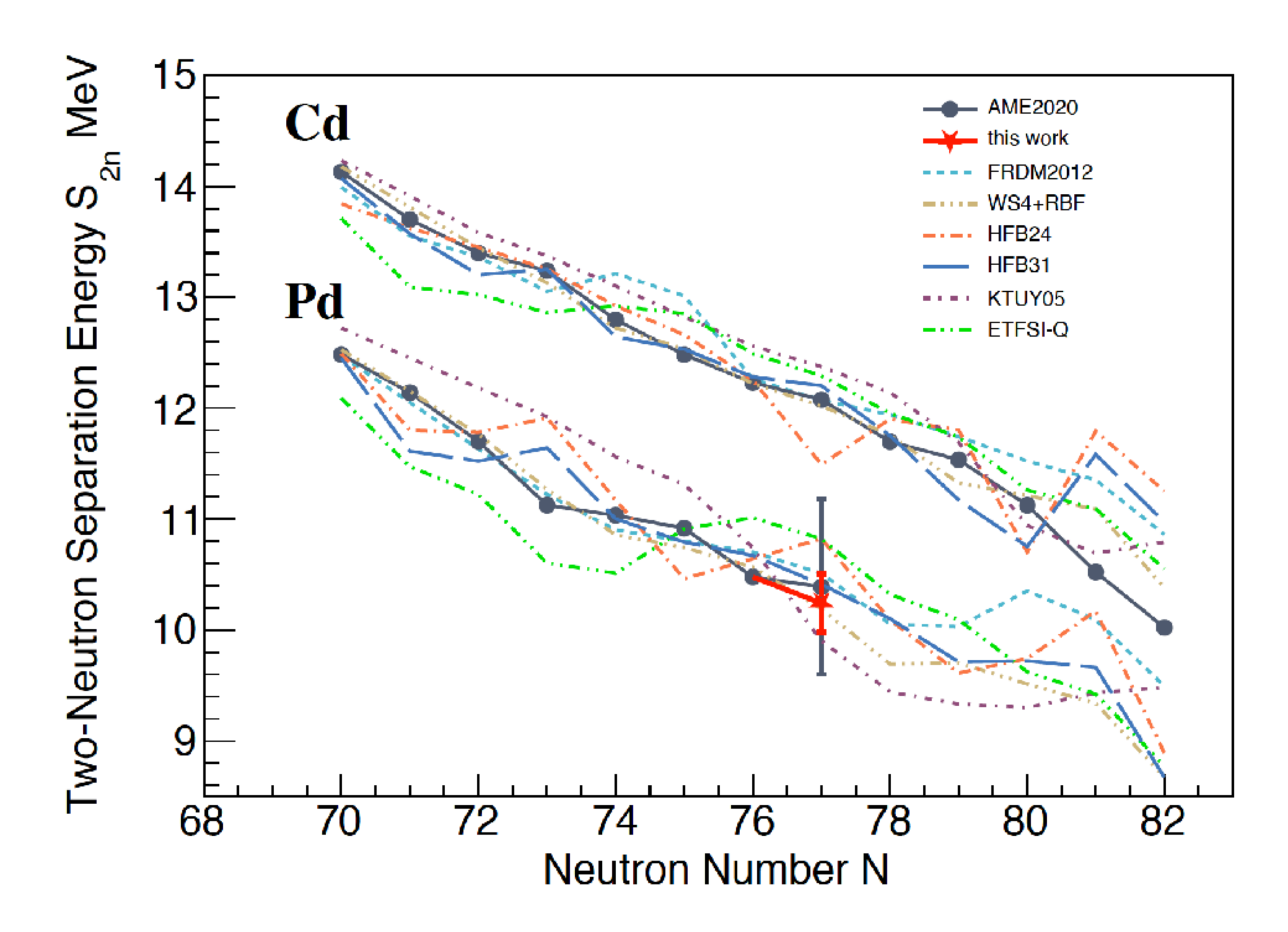
### New R3 mass measurement result





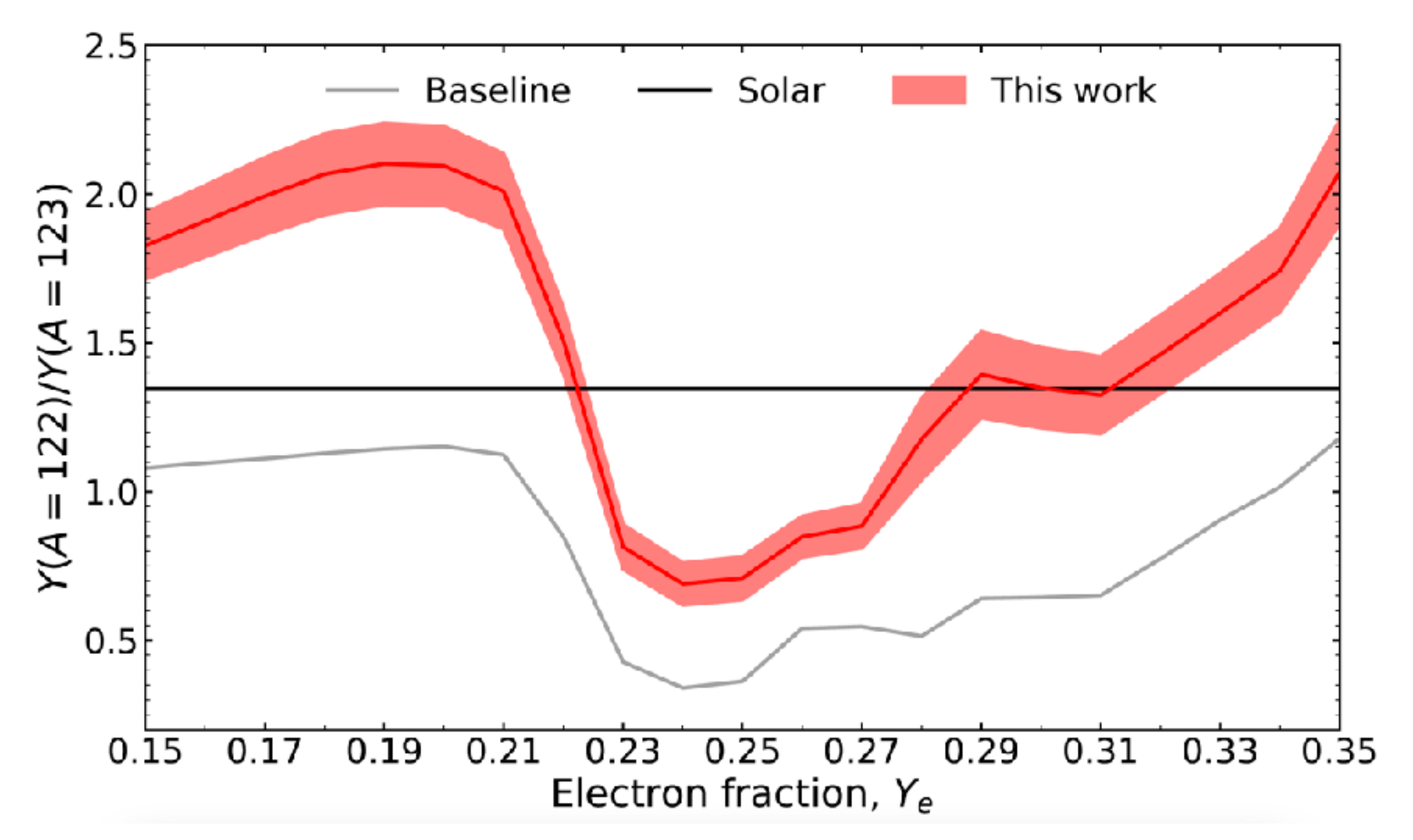
H.F. Li et al. PRL,128 (2022)

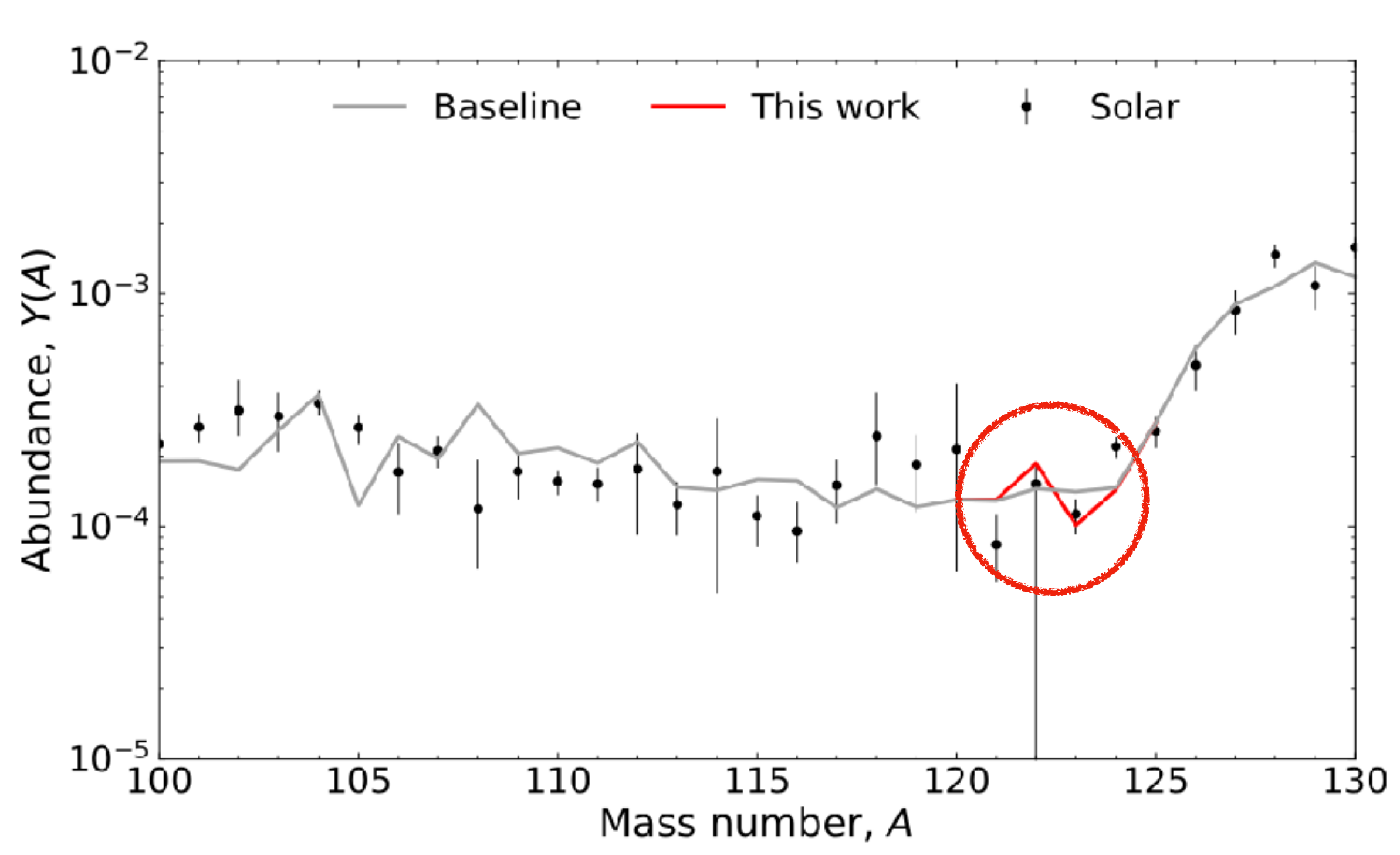
### New R3 mass measurement result



No evidence of large deformation below Z=50!!

### Impact in r-process abundances

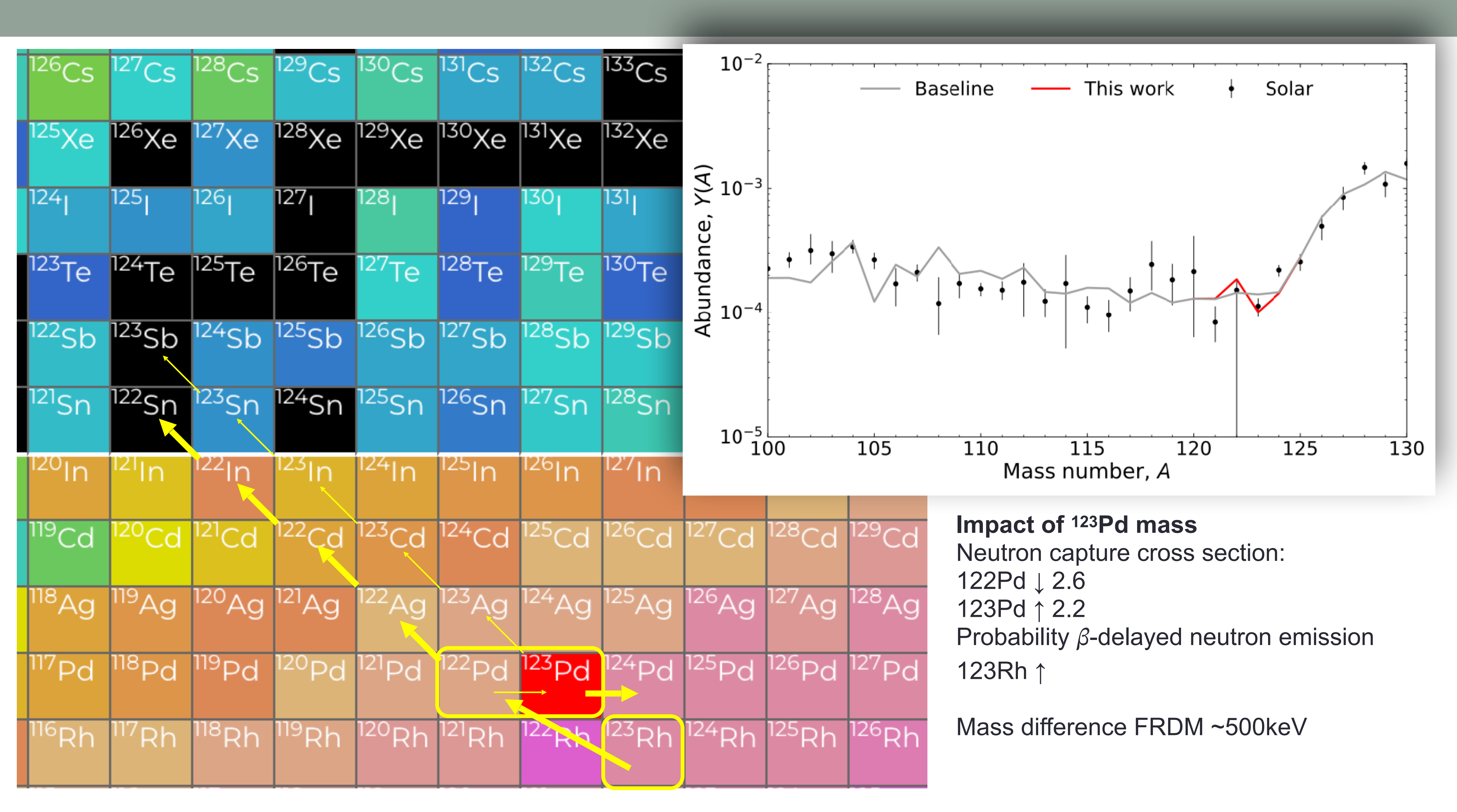




Portable Routines for Integrated nucleoSynthesis Modeling (PRISM) reaction network, neutron star merger condition; entropy 40kB/baryon, timescale 20ms, electron fraction Ye=0.15~0.35.

Mumpower et al. PRC92(2015), Zhu et al., Astro. J. 863 (2018)

Mass model FRDM (baseline), Our new mass measurement of <sup>123</sup>Pd (redline) with its uncertainty



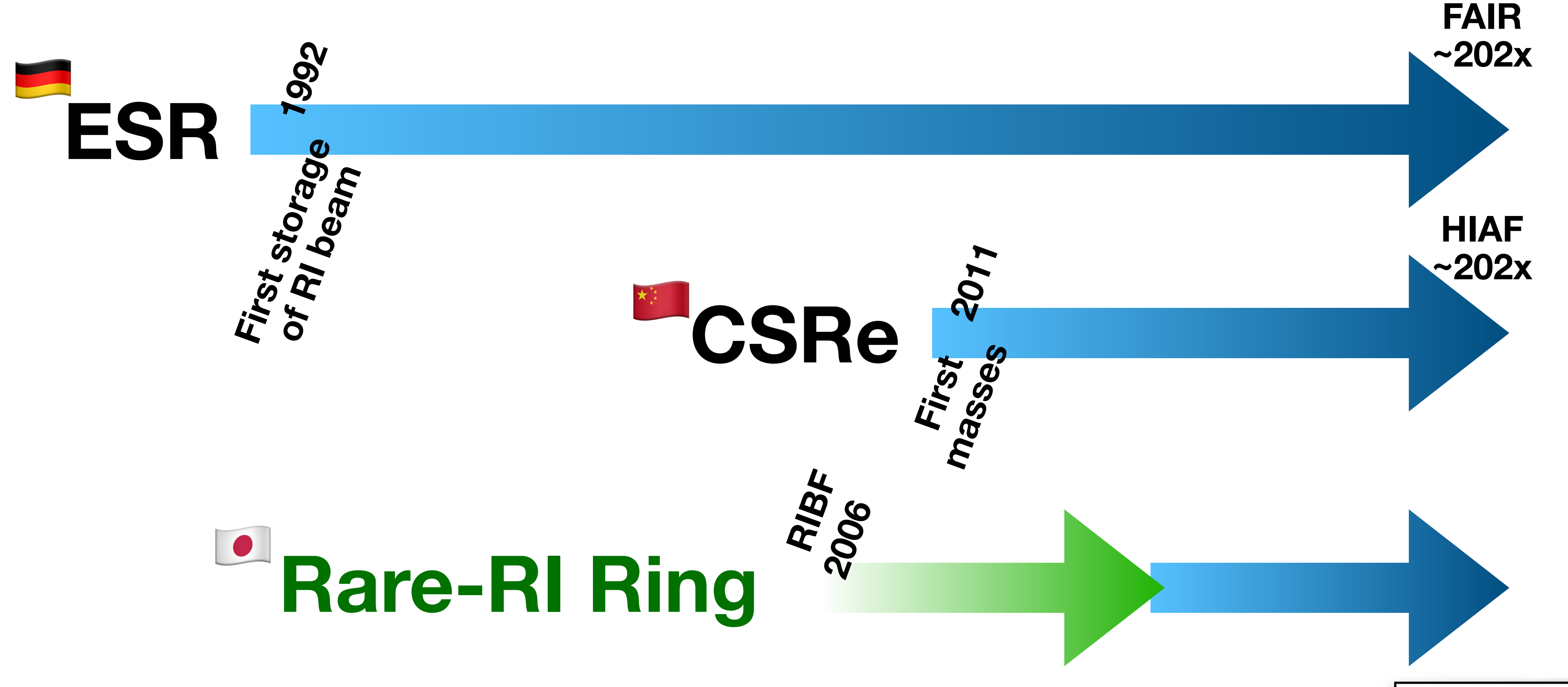
### First Application of Mass Measurements with the Rare-RI Ring Reveals the Solar r-Process Abundance Trend at A = 122 and A = 123

H. F. Li, <sup>1,2,3,4</sup> S. Naimi, <sup>3,\*</sup> T. M. Sprouse, <sup>5</sup> M. R. Mumpower, <sup>5</sup> Y. Abe, <sup>3</sup> Y. Yamaguchi, <sup>3</sup> D. Nagae, <sup>3,†</sup> F. Suzaki, <sup>3,‡</sup> M. Wakasugi, <sup>3</sup> H. Arakawa, <sup>6</sup> W. B. Dou, <sup>6</sup> D. Hamakawa, <sup>6</sup> S. Hosoi, <sup>6</sup> Y. Inada, <sup>6</sup> D. Kajiki, <sup>6</sup> T. Kobayashi, <sup>6</sup> M. Sakaue, <sup>6</sup> Y. Yokoda, <sup>6</sup> T. Yamaguchi, <sup>6</sup> R. Kagesawa, <sup>7</sup> D. Kamioka, <sup>7</sup> T. Moriguchi, <sup>7</sup> M. Mukai, <sup>7,§</sup> A. Ozawa, <sup>7</sup> S. Ota, <sup>8,||</sup> N. Kitamura, <sup>8</sup> S. Masuoka, <sup>8</sup> S. Michimasa, <sup>8</sup> H. Baba, <sup>3</sup> N. Fukuda, <sup>3</sup> Y. Shimizu, <sup>3</sup> H. Suzuki, <sup>3</sup> H. Takeda, <sup>3</sup> D. S. Ahn, <sup>3,9</sup> M. Wang, <sup>1</sup> C. Y. Fu, <sup>1</sup> Q. Wang, <sup>1</sup> S. Suzuki, <sup>1</sup> Z. Ge, <sup>1,¶</sup> Yu. A. Litvinov, <sup>10</sup> G. Lorusso, <sup>11,12</sup> P. M. Walker, <sup>12</sup> Zs. Podolyak, <sup>12</sup> and T. Uesaka <sup>3</sup>





#### Storage Rings In Comparison



Isochronous cond.: ~10-6

Total transmission: ~10-2\*

Mass accuracy: 10-6 -10-5 \*

- Ongoing developments
  - Kicker upgrade
    - Long flat-top
    - New capacitances
  - Steering magnets
    - Vertical beam control

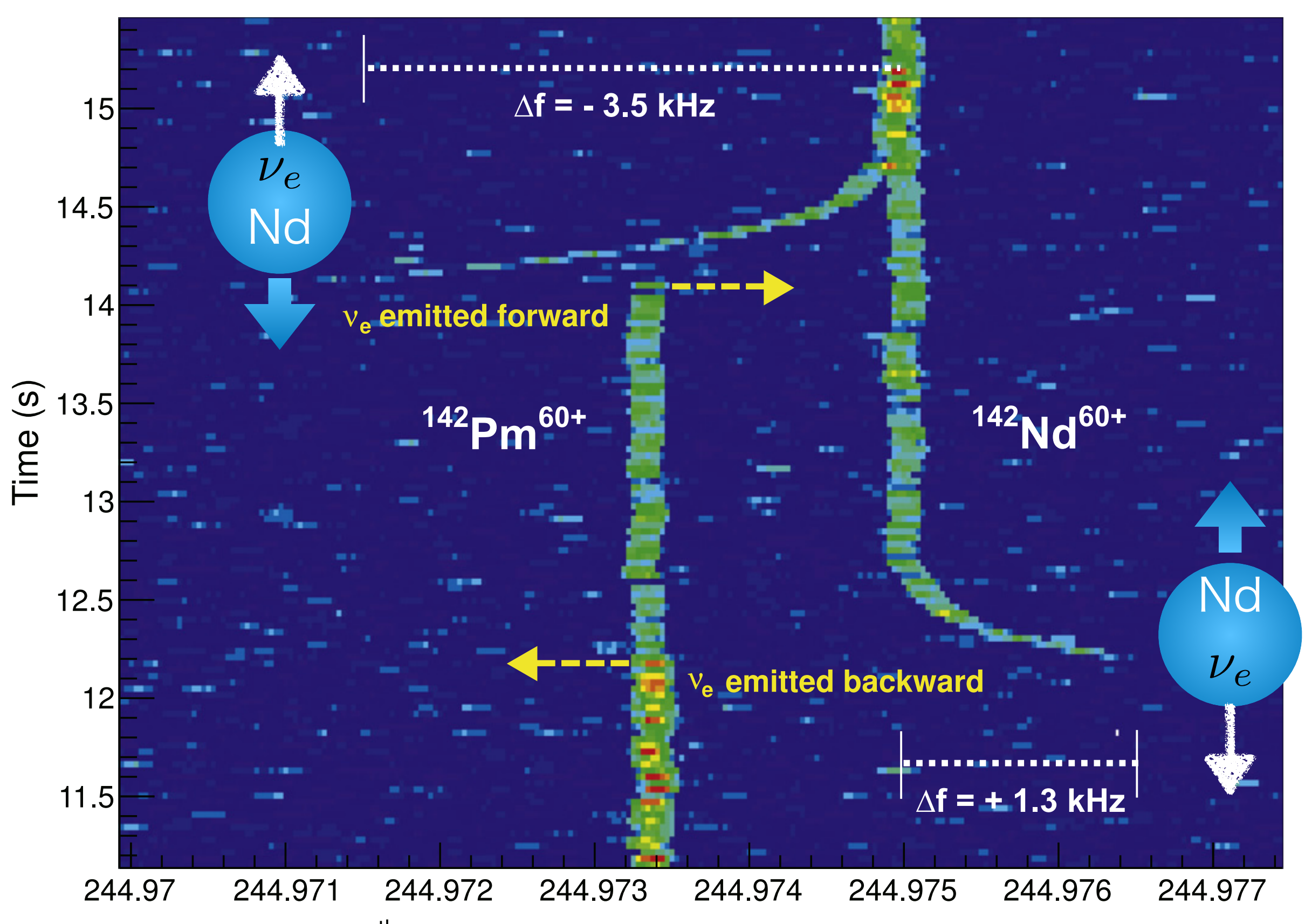
## Schottky at GSI



F. Nolden et al., Nucl. Instrum. Methods A 659 (2011) 69.

Latest cavity: 410 MHz

 $^{142}\mathrm{Pm}^{60+} \rightarrow ^{142}\mathrm{Nd}^{60+} + \nu_e$  Electron cooler ON



124<sup>th</sup> harmonic of the revolution frequency (MHz)

P. Kienle, Two-Body-Weak-Decays Collaboration, Phys. Lett. B 726 (2013) 638.

Resonant Schottky

Non-destructive single-ion detection



Injection septum magnets

Sector magnets

Extraction



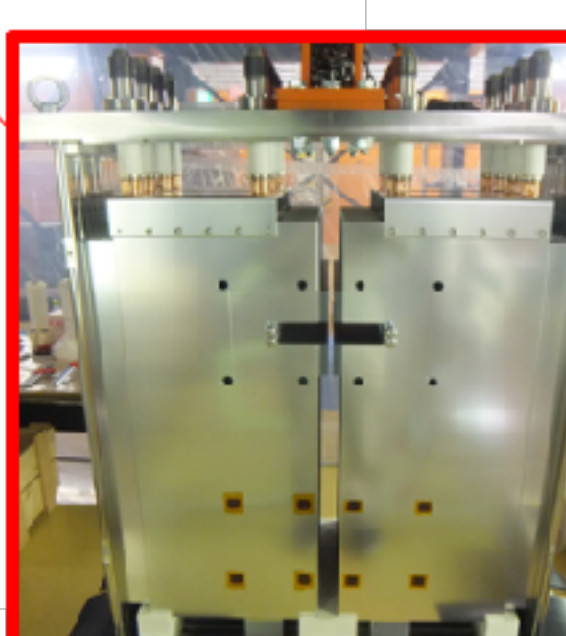




and PID



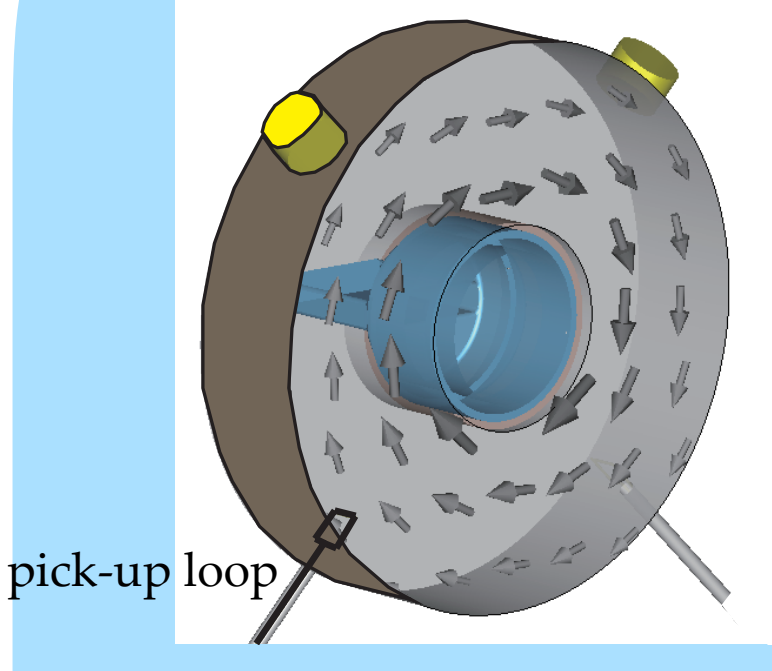
Fast-response Kicker magnets



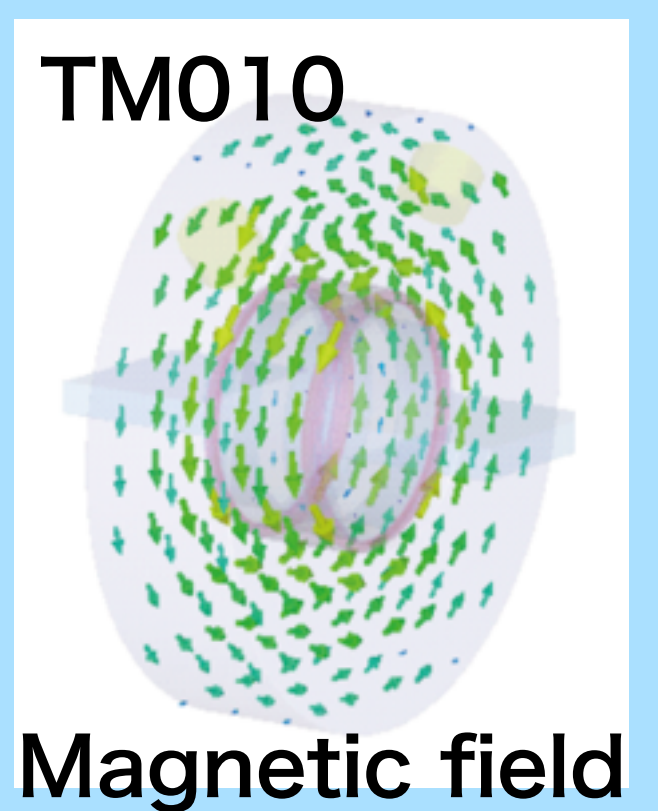
Injection beam line

Individual injection



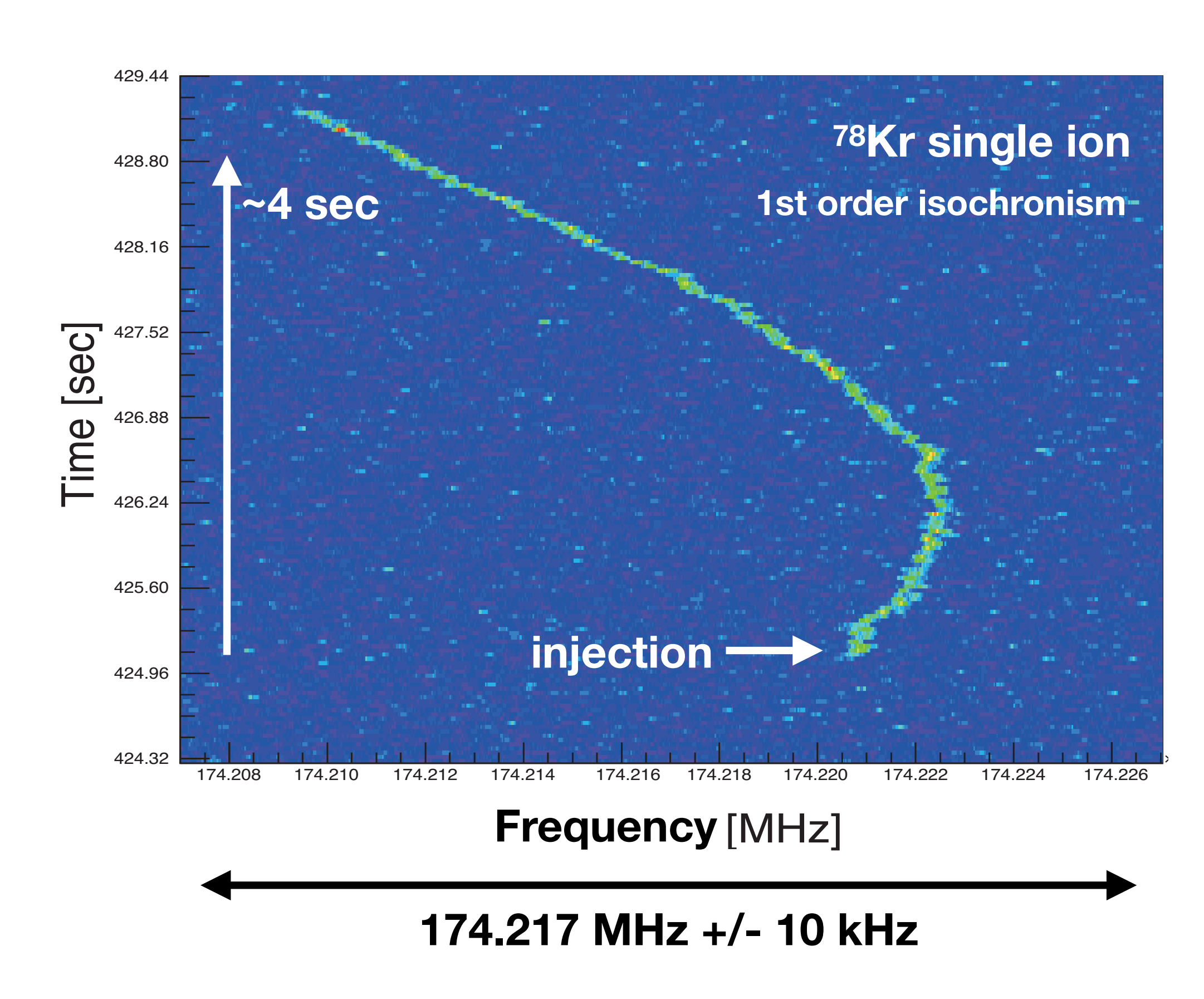


**Q**<sub>L</sub>-factor ~1880 **Shunt Impedance** ~160 kΩ

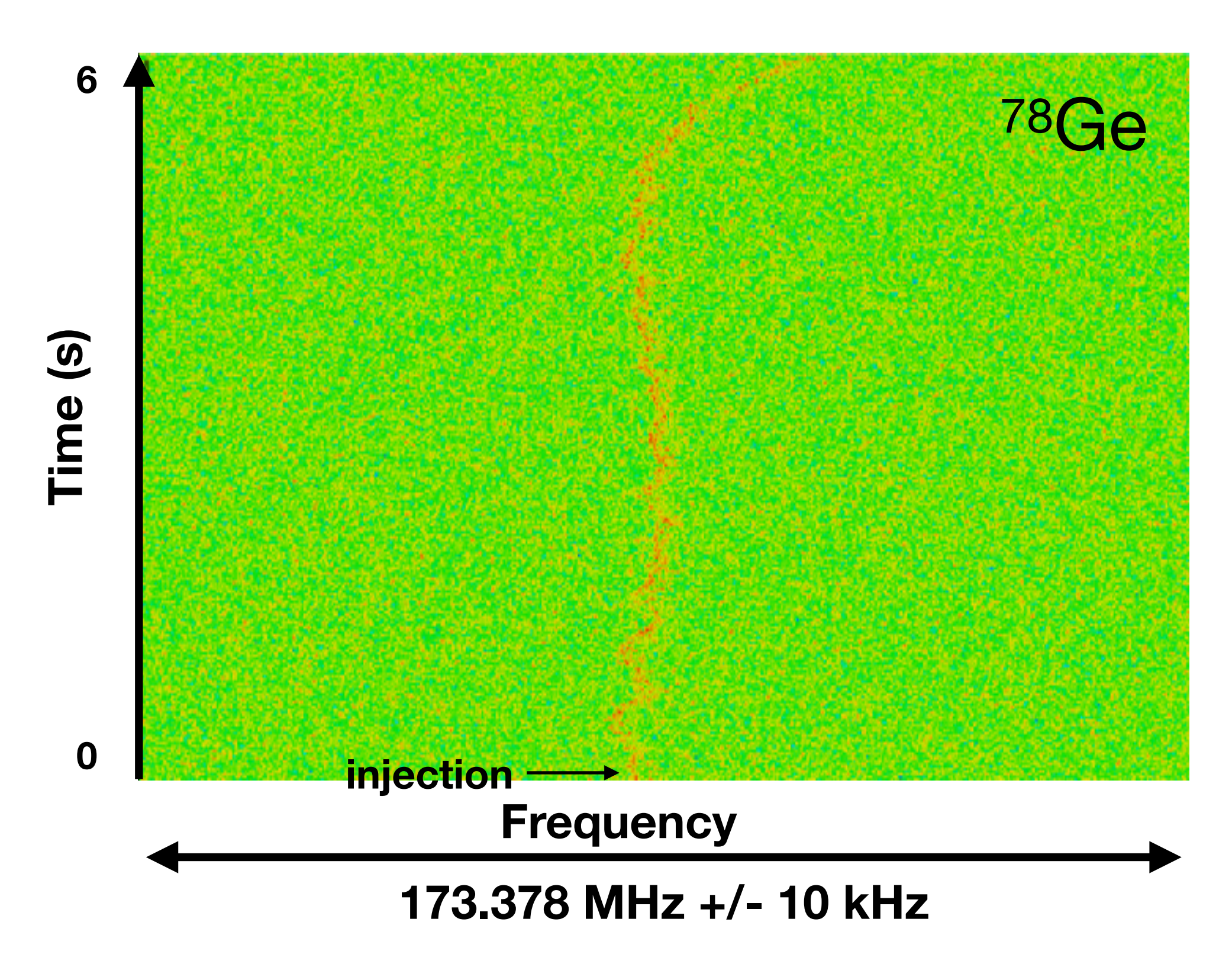




### Schottky at R3



Resolution: 1.3 x 10<sup>-6</sup> /frame

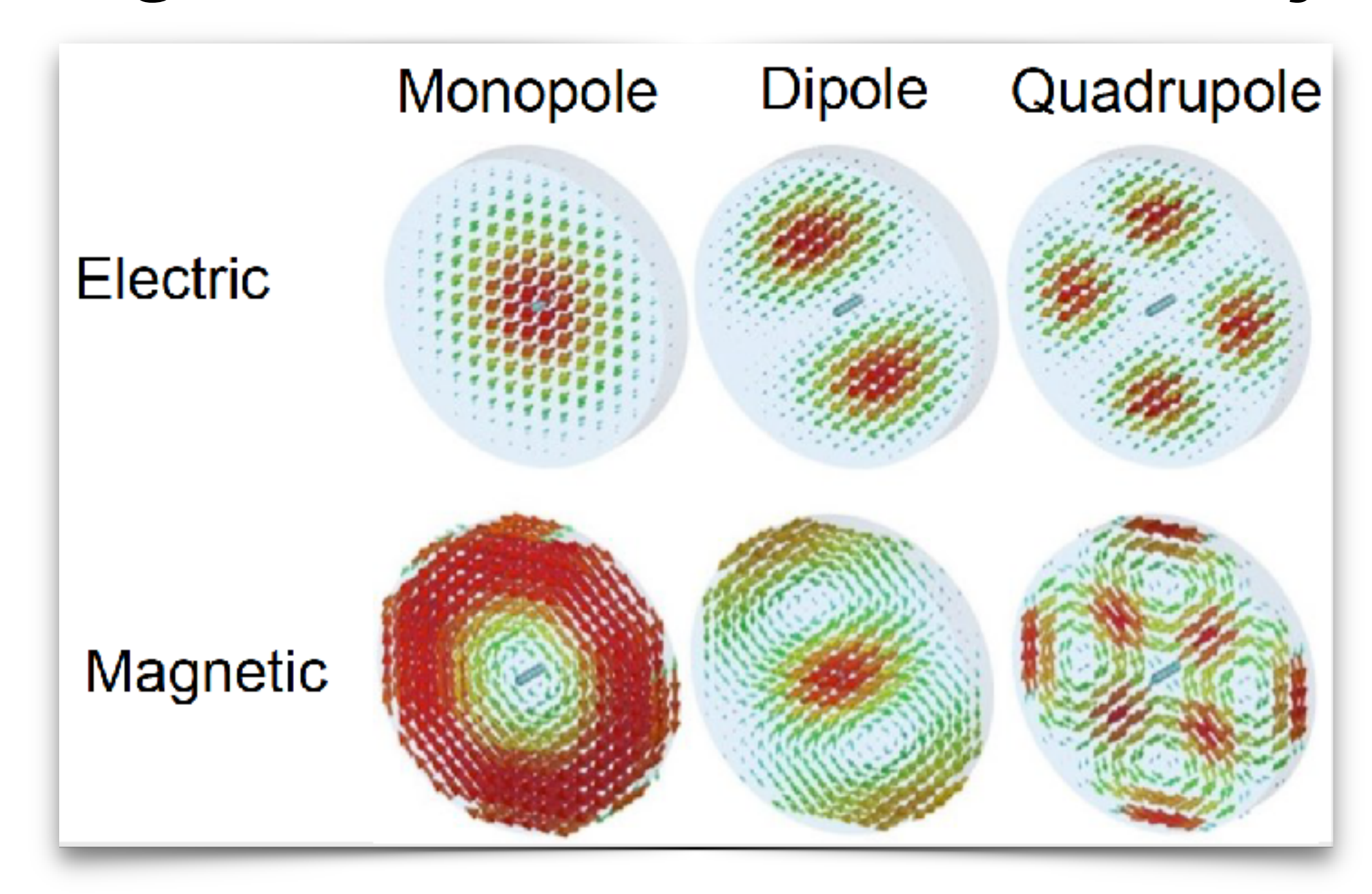


First long time storage of RI beam: 6 sec

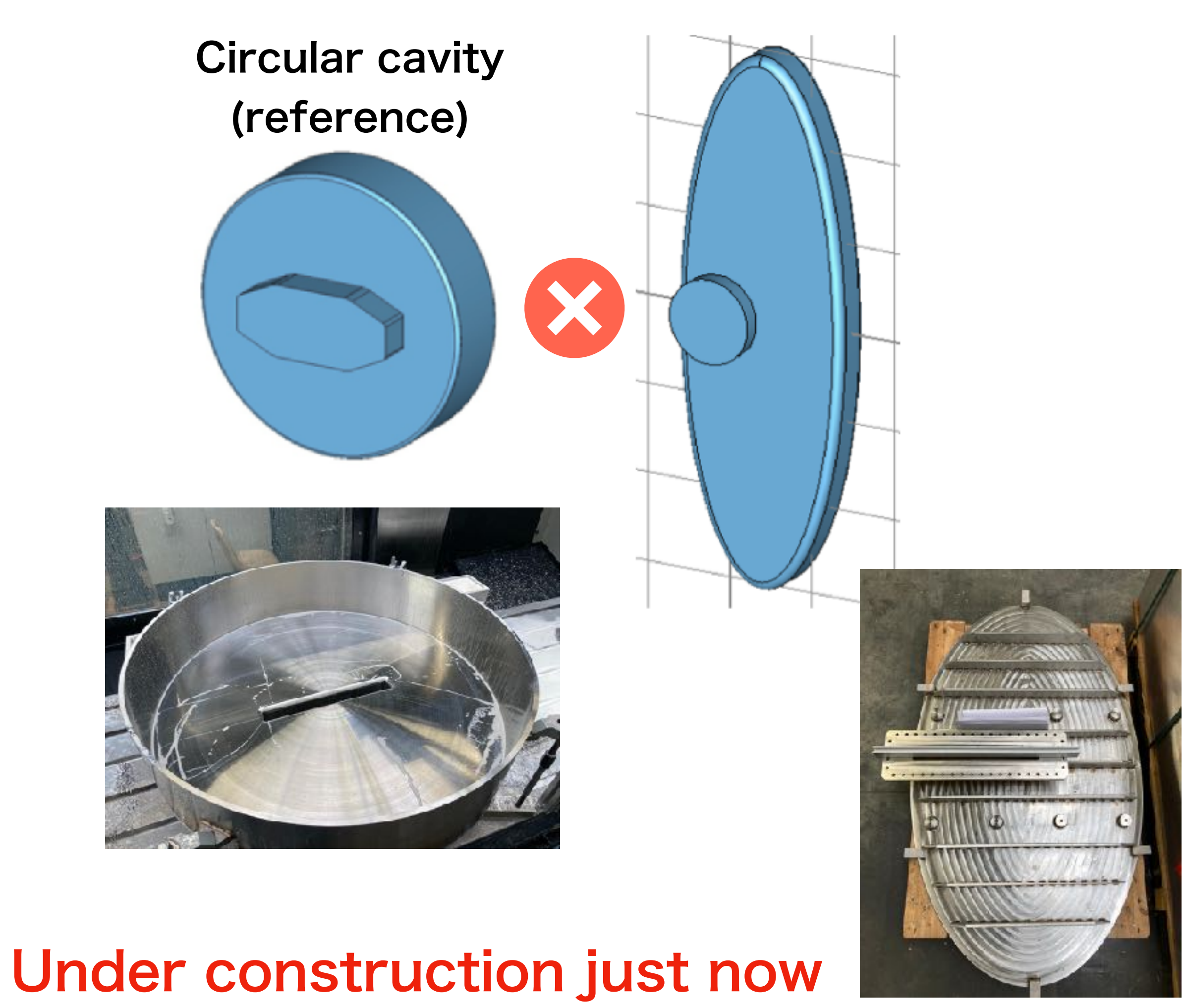
### Position-sensitive Schottky

GSI-R3 collaboration

#### Eigenmodes in a resonant cavity

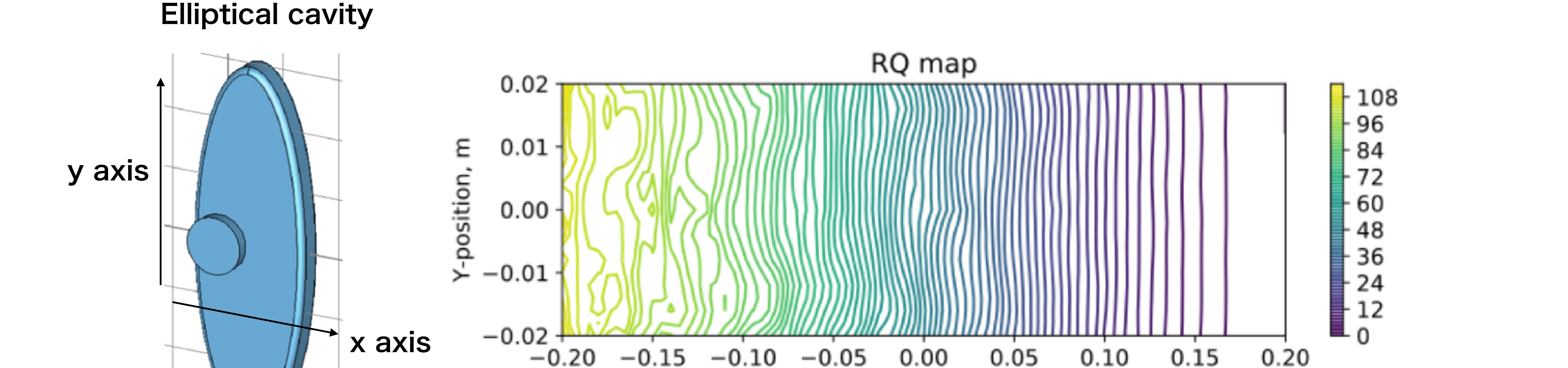


#### **Elliptical cavity**



### Position-sensitive Schottky

GSI-R3 collaboration

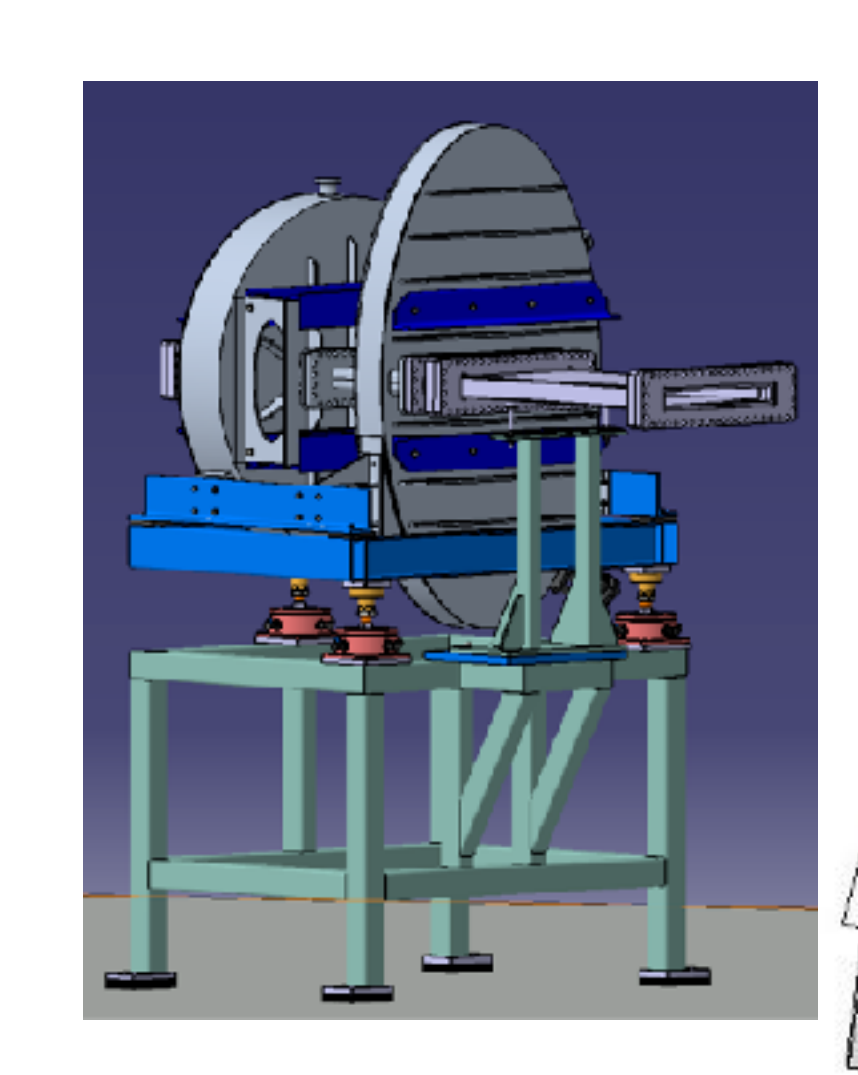


- √ Sensitivity changes linearly.
- √ Signal amplitude proportional to x-position.

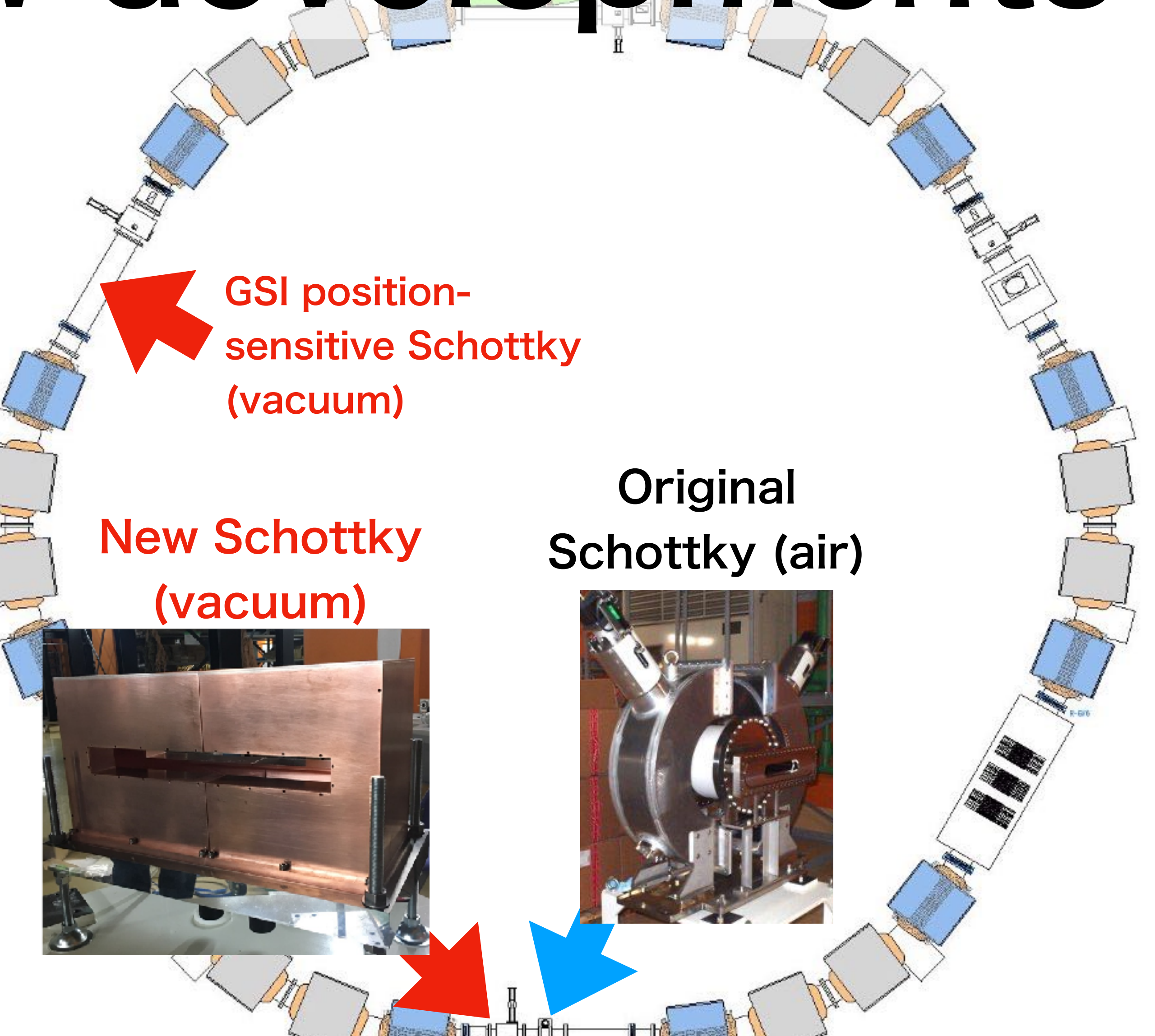
Sanjari, Dmytriiev

X-position, m

## New developments



Under construction
Delivery in 2023



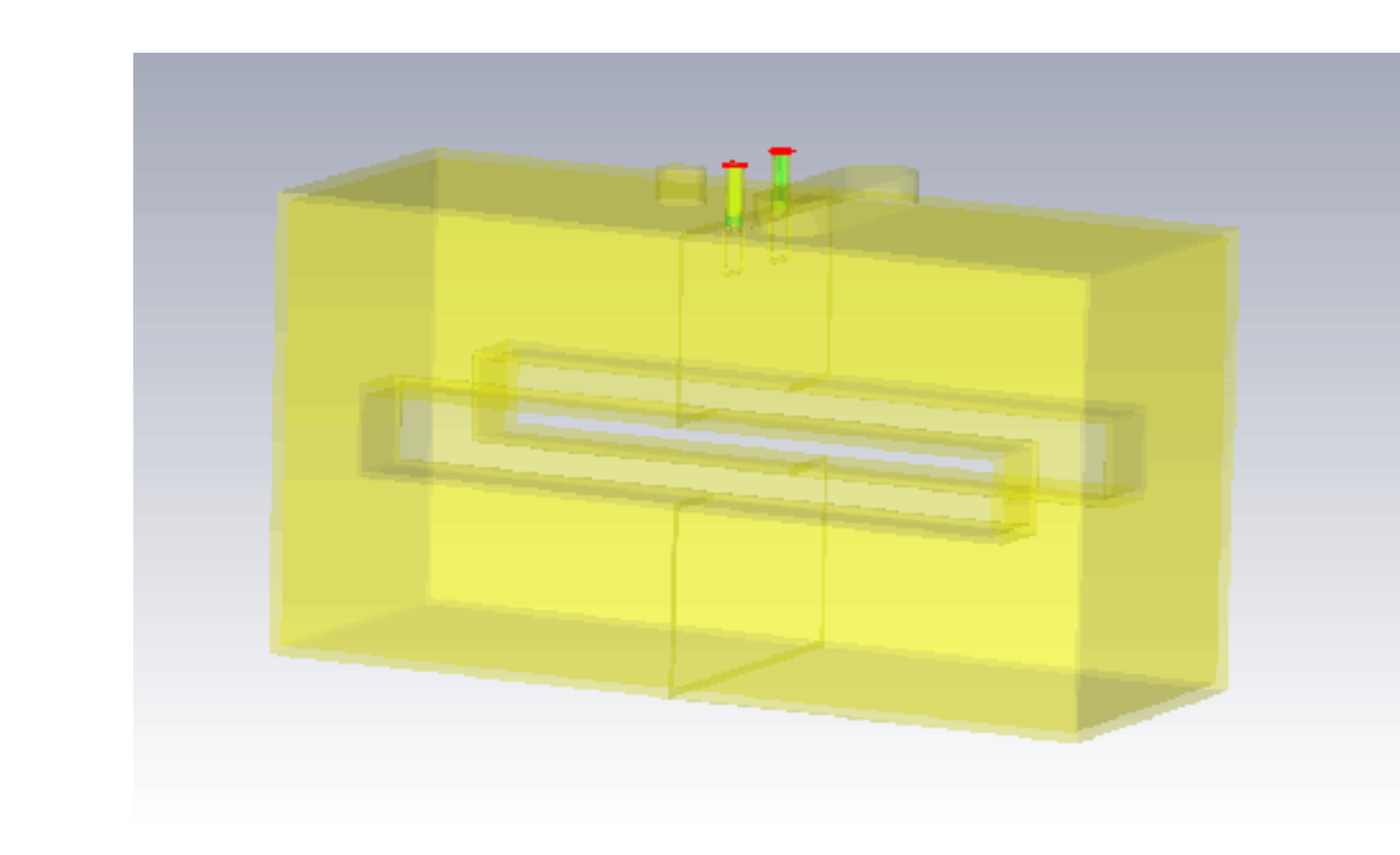
#### Saitama Schottky

Resonant freq. ~503 MHz

 $Q_L \sim 3200$ 

 $R_{sh} \sim 1020 k\Omega$ 

~10x more sensitive



### In summary

- New storage ring "Rare-RI Ring (R3)" has been built at RIBF.
  - Single-ion isochronous mass spectrometry with individual injection technique
- · Commissioning of the uranium fission fragments was successful.
  - Mass precision < 10-5</li>
- First application for neutron-rich Pd isotopes: update of 123Pd
- Upgrades of the facility
  - New Schottky detectors will be ready soon.

### Thank you























中国科学院近代物理研究所 Institute of Modern Physics, Chinese Academy of Sciences